



**Escuela Universitaria
Politécnica - La Almunia**
Centro adscrito
Universidad Zaragoza

**ESCUELA UNIVERSITARIA POLITÉCNICA
DE LA ALMUNIA DE DOÑA GODINA (ZARAGOZA)**

ANEXOS

Diseño de una estación meteorológica de bajo
coste orientada al internet de las cosas

Low-cost Weather Station Design Focused on
the Internet of Things

424.21.14

Autor: Jonathan Chamba Benítez

Director: César Asensio Chaves

Fecha: 11 2022

Página intencionadamente en blanco.



INDICE DE CONTENIDO

1. ANEXO 1: CÓDIGO FUENTE	1
1.1. PROGRAMA PRINCIPAL	1
1.1.1. Cabecera	1
1.1.2. Setup	8
1.1.3. Loop	11
1.1.4. Funciones de ThingSpeak	12
1.1.5. Funciones BME688	13
1.1.6. Funciones AS5048A	16
1.2. PROGRAMA ESPDUINO-32, AS5048A Y LABVIEW	25
1.3. MATLAB: ENSAYO 1	29
1.4. MATLAB: ENSAYO 2	30
2. ANEXO 2: DIAGRAMAS DE ACTIVIDAD UML	36
2.1. PROGRAMA PRINCIPAL	36
2.1.1. Setup	37
2.1.2. Loop	38
2.2. ESPDUINO-32 Y AS5048A	39
2.3. ESPDUINO-32 Y LABVIEW	41
2.4. CÓDIGO MATLAB	43
3. ANEXO 3: ESQUEMA ELÉCTRICO	44
4. ANEXO 4: MODIFICACIÓN DE IDE ARDUINO	45
5. APÉNDICE 1: GRÁFICOS DE ENSAYO 1	48
5.1. DISEÑO DE ROTOR 1	48
5.2. DISEÑO DE ROTOR 2	52
6. APÉNDICE 2: DATOS EMPLEADOS EN EL ENSAYO 2	57

INDICES

6.1. TABLAS UTILIZADAS EN LA CALIBRACIÓN DE LA VELOCIDAD	57
7. APÉNDICE 3: MATRICES DE LOS SISTEMAS DE CLASIFICACIÓN	71
7.1. MATRICES DEL SISTEMA DE CLASIFICACIÓN 1	71
7.2. MATRICES DEL SISTEMA DE CLASIFICACIÓN 2	93
8. APÉNDICE 4: GRÁFICAS DE VALIDACIÓN DE LOS SISTEMAS DE CLASIFICACIÓN	113
8.1. GRÁFICAS DEL SISTEMA DE CLASIFICACIÓN 1	113
8.2. GRÁFICAS DEL SISTEMA DE CLASIFICACIÓN 2	117

INDICE DE ILUSTRACIONES

Ilustración 1. Diagrama UML: Funcionamiento conceptual del software del prototipo	36
Ilustración 2. Diagrama UML: Setup del código de programación general	37
Ilustración 3. Diagrama UML: Loop del código de programación general	38
Ilustración 4. Diagrama UML: Setup de la comunicación ESP32, AS5048A y LabVIEW	39
Ilustración 5. Diagrama UML: Loop de la comunicación de ESP32, AS5048A y LabVIEW	40
Ilustración 6. Diagrama UML: funcionamiento conceptual de LabVIEW	41

INDICES

Ilustración 7. Procesamiento de datos en LabVIEW	42
Ilustración 8. Creación de sistema de clasificación en Matlab.....	43
Ilustración 9. Ventana de preferencias del IDE de Arduino	45
Ilustración 10. Ubicación de archivo platform.txt de la ESP32 en la carpeta Arduino15	46
Ilustración 11. Diseño de rotor 1: máximos y mínimos locales de dirección Norte (v1).....	48
Ilustración 12. Diseño de rotor 1: máximos y mínimos locales de dirección Este (v1)	49
Ilustración 13. Diseño de rotor 1: máximos y mínimos locales de dirección Oeste (v1)	49
Ilustración 14. Diseño de rotor 1: máximos y mínimos locales de dirección Sur (v1)	50
Ilustración 15. Diseño de rotor 1: máximos y mínimos locales de dirección Norte (v2).....	50
Ilustración 16. Diseño de rotor 1: máximos y mínimos locales de dirección Este (v2)	51
Ilustración 17. Diseño de rotor 1: máximos y mínimos locales de dirección Oeste (v2)	51
Ilustración 18. Diseño de rotor 1: máximos y mínimos locales de dirección Sur (v2)	52
Ilustración 19. Diseño de rotor 2: máximos y mínimos locales de dirección Norte (v1).....	52
Ilustración 20. Diseño de rotor 2: máximos y mínimos locales de dirección Este (v1)	53

Ilustración 21. Diseño de rotor 2: máximos y mínimos locales dirección Sur (v1).....	53
Ilustración 22. Diseño de rotor 2: máximos y mínimos locales dirección Oeste (v1).....	54
Ilustración 23. Diseño de rotor 2: máximos y mínimos locales dirección Norte (v2).....	54
Ilustración 24. Diseño de rotor 2: máximos y mínimos locales dirección Este (v2).....	55
Ilustración 25. Diseño de rotor 2: máximos y mínimos locales dirección Sur (v2).....	55
Ilustración 26. Diseño de rotor 2: máximos y mínimos locales dirección Oeste (v2).....	56
Ilustración 27. Clasificación de dirección Oeste, velocidad 60km/h.	113
Ilustración 28. Clasificación de dirección Oeste, velocidad 20km/h.	114
Ilustración 29. Clasificación de dirección Sur, velocidad 60km/h.	114
Ilustración 30. Clasificación de dirección Sur, velocidad 20km/h.	115
Ilustración 31. Clasificación de la dirección Norte, velocidad 60km/h.	115
Ilustración 32. Clasificación de la dirección Norte, velocidad 20km/h.	116
Ilustración 33. Clasificación de dirección Este, velocidad 60km/h.	116

INDICES

Ilustración 34. Clasificación de dirección Este, velocidad 20km/h.	117
Ilustración 35. Clasificación de dirección Oeste, velocidad 60km/h.	117
Ilustración 36. Clasificación de dirección Oeste, velocidad 40km/h.	118
Ilustración 37. Clasificación dirección Oeste, velocidad 20km/h (v1).	118
Ilustración 38. Clasificación dirección Oeste, velocidad 20km/h (v2).	119
Ilustración 39. Clasificación de la dirección Sur, velocidad 20 km/h (v1).....	119
Ilustración 40. Clasificación dirección Sur, velocidad 20km/h (v2).	120
Ilustración 41. Clasificación de la dirección Sur, velocidad 40km/h.	120
Ilustración 42. Clasificación dirección Sur, velocidad 60km/h. (v1)	121
Ilustración 43. Clasificación dirección Sur, velocidad 60km/h (v2).	121
Ilustración 44. Clasificación de la dirección Norte, velocidad 60km/h (v1).	122
Ilustración 45. Clasificación de la dirección Norte, velocidad 60km/h (v2).	122
Ilustración 46. Clasificación dirección Norte, velocidad 40km/h..	123

INDICES

Ilustración 47. Clasificación dirección Norte, velocidad 20km/h (v1).	123
Ilustración 48. Clasificación de la dirección Norte, velocidad 20km/h (v2).	124
Ilustración 49. Clasificación de la dirección Este, velocidad 40km/h.	124
Ilustración 50. Clasificación de la dirección Este, velocidad 60km/h.	125
Ilustración 51. Clasificación dirección Este, velocidad 20km/h. ..	125

INDICE DE TABLAS

Tabla 1. Datos dirección Norte, velocidad de vehículo 20km/h....	57
Tabla 2. Datos dirección Norte, velocidad de vehículo 40 km/h...	58
Tabla 3. Dirección Norte, velocidad de vehículo 60km/h	60
Tabla 4. Dirección Este, velocidad de vehículo 20 km/h.....	61
Tabla 5. Dirección Este, velocidad de vehículo 40km/h.....	62
Tabla 6. Dirección Este, velocidad de vehículo 60km/h.....	63
Tabla 7. Dirección Oeste, velocidad de vehículo 20km/h.....	64
Tabla 8. Dirección Oeste, velocidad de vehículo 40km/h.....	65
Tabla 9. Dirección Oeste, velocidad de vehículo 60km/h.....	66
Tabla 10. Dirección Sur, velocidad de vehículo 20 km/h	67
Tabla 11. Dirección Sur, velocidad de vehículo 40km/h	68



INDICES

Tabla 12. Dirección Sur, velocidad de vehículo 60km/h	69
Tabla 13. Matriz de generadores (M) del sistema de clasificación 1.	71
Tabla 14. Matriz métrica (G) del sistema de clasificación 1.	80
Tabla 15. Matriz de proyección (D) transpuesta del sistema de clasificación 1	81
Tabla 16. Matriz de generadores (M) del sistema de clasificación 2.	93
Tabla 17. Matriz métrica (G) del sistema de clasificación 2.	101
Tabla 18. Matriz de proyección (D) transpuesta del sistema de clasificación 2.	102

1. ANEXO 1: CÓDIGO FUENTE

En el presente anexo se presentan los diferentes códigos de programación empleados en el desarrollo del proyecto.

1.1. PROGRAMA PRINCIPAL

1.1.1. Cabecera

```
/*--- Librerías ---*/
#include <cmath>                //Librería para operaciones
matemáticas
#include <EEPROM.h>            //Librería para uso de la EEPROM
#include "bsec.h"              //Librería BSEC de BOSCH para el
BME688
#include "ThingSpeak.h"       //Librería para la plataforma
ThingSpeak
#include "WiFi.h"              //Librería para uso de WiFi
#include <SPI.h>               //Librería SPI
#include <Wire.h>              //Librería para uso de I2C

/*-----
-----*/
/*--- Configuración de red WiFi ---*/

const char* ssid = " ";          //WiFi ID
const char* password = " ";     //Password
WiFiClient cliente;             //Variable de
tipo WiFiClient

unsigned long currentMicros = 0; //Marca de tiempo

/*-----
-----*/
/*--- Configuración de ThingSpeak ---*/

unsigned long channelID = ;      //ID de canal
const char* WriteAPIKey = " ";  //Clave de acceso para
canales privados
unsigned long timer_thingspeak = 0; //Timer para
controlar el tiempo de subida de datos a thinspeak
```

Diseño de una estación meteorológica de bajo coste orientada al internet de las cosas

Anexo 1: Código fuente

```
unsigned long loopTime_thingspeak = 15000000; //Frecuencia
muestreo 0.0666Hz, 15seg

/*-----*/
-----*/
/*--- Conexion ESP32 y BME688 ---*/

#define PIN_SDA 21 //Pin de conexion SDA en ESP32
#define PIN_SCL 22 //Pin de conexión SCL en ESP32
#define LED_BUILTIN 2 //Pin de led integrado en la ESPDUINO-
32

typedef struct{ //Estructura para almacenar los
valores proporcionados por el BME688
    float Temperature; //Temperatura compensada por el
sensor
    float Pressure; //Presión
    float Humidity; //Humedad compensada por el
sensor
    float GasResistance; //Resistencia al gas
    float IAQ; //Indice de calidad de aire
    float IAQ_Accuracy; //Precisión del IAQ - el valor
tiene un rango de 0 a 3, donde 0 es baja precision y 3 alta.
La precisión incrementa a mayor número de muestras realizadas
    float Static_IAQ; //Indice de calidad de aire
para dispositivos estáticos o estacionarios
    float CO2_Equivalent; //Valor de CO2 equivalente en
ppm
    float BreathVocEquivalent; //Valor equivalente de COV's
respirados
    int Timer_Trigger; //Temporizador de activación
del BME688.

}t_sensor_bme688;

t_sensor_bme688 bme688; //Creación de estructura bme688

/* Configure the BSEC library with information about the
sensor
    18v/33v = Voltage at Vdd. 1.8V or 3.3V
    3s/300s = BSEC operating mode, BSEC_SAMPLE_RATE_LP or
BSEC_SAMPLE_RATE_ULP
    4d/28d = Operating age of the sensor in days
    generic_18v_3s_4d
    generic_18v_3s_28d
    generic_18v_300s_4d
```

```
    generic_18v_300s_28d
    generic_33v_3s_4d
    generic_33v_3s_28d
    generic_33v_300s_4d
    generic_33v_300s_28d
*/
const uint8_t bsec_config_iaq[] = {          //Configuración del
modo de funcionamiento de BME688
#include "config/generic_33v_3s_4d/bsec_iaq.txt"
};

#define STATE_SAVE_PERIOD  UINT32_C(360 * 60 * 1000) // 360
minutes - 4 times a day //Periodo de tiempo para el
almacenamiento de estado del BME688 en la EEPROM

/*---Declaración de funciones de ayuda del BME688---*/

void checkIaqSensorStatus(void);
void errLeds(void);
void loadState(void);
void updateState(void);
void GetReadingsBME688();

/*---Creación de objeto de clase BSEC---*/

Bsec iaqSensor;
uint8_t bsecState[BSEC_MAX_STATE_BLOB_SIZE] = {0};
uint16_t stateUpdateCounter = 0;
uint32_t millisOverflowCounter = 0;
uint32_t lastTime = 0;

String Output;

/*-----*
-----*/
/*--- Conexion ESP32 y AS5048A ---*/

static const int SPEED_MAX = 1000000; //1MHz velocidad de
comunicación del periodo de reloj serial
uint16_t rawData = 0; //Variable para
almacenar los valores en bruto leídos por el sensor
int indice = 0; //Variable para
recorrer el array de enteros donde se almacena los datos en
bruto
```

Diseño de una estación meteorológica de bajo
coste orientada al internet de las cosas

Anexo 1: Código fuente

```
unsigned long timer_as5048a =
0; //Variable para la cuenta de tiempo
transcurrido
unsigned long loopTime_as5048a = 5000; //Frecuencia muestreo
200hz, 5ms o 5000us Los valores seran en microsegundos

/*--- Punteros orientados a objetos de SPI ---*/
SPIClass *vspi = NULL;
uint16_t data = 0b1111111111111111; // Comando de lectura
(0xFFF)

// Definición de pines SPI ESP32
#define VSPI_MISO 19 //Conexion MISO asignado a
pin 19
#define VSPI_MOSI 23 //Conexión MOSI asignado a
pin 23
#define VSPI_SCLK 18 //Conexión CLK asignado a pin
18
#define VSPI_SS 5 //Conexión SS asignado a pin
5

/*--- Parámetros de entrada ---*/
#define num_valores 400
float vGrados[num_valores];
float vDeri[num_valores];
int vec_Frecuencias[120];

/*--- Parámetros derivada numérica ---*/

float degreeData = 0; //Variable para guardar los
grados medidos
float numDeri = 0; //Variable para guardar el valor
de la derivada numérica sin procesar
float timeSample = 0.005; //Tiempo de muestreo en ms para
el calculo de la derivada numérica
float A, B, C; //Variables para guardar los
valores en orden para operar en la derivada numérica
float outPut = 0; //Salida de derviada numérica
procesada

/*--- Parámetros de ecuacion de la recta y dirección viento -
---*/
#define SLOPE 2.3712 //Pendiente de la
recta
```

Diseño de una estación meteorológica de bajo coste orientada al internet de las cosas

Anexo 1: Código fuente

```
#define FACTOR_GRAD_SEC_TO_KM_H
0.0056548667764616 //Factor de ajuste para convertir
grad/s en km/h
#define OFFSET 6.9151 //Offset
float windSpeed = 0; //Variable
que almacena la velocidad del viento
int windDirecction; //Variable que
almacena la dirección del viento
float vSpeed[num_valores]; //Vector que
almacena las diferentes velocidades para despues promediar
float meanWindSpeed = 0; //Variable
que almacena la velocidad promedio

/*--- Parámetros de filtro media movil ---*/
int Mo = 16;
float vec_Filtrado[num_valores];

/*--- Parámetros para almacenar valores de máximos locales --
-*/
int vec_Maximos[num_valores];
float vec_Grados_maximos[num_valores];

/*--- Parámetros para calcular la norma y vector ---*/

float norma = 0.0;
float vec_Generador[120][1];

/*--- Matriz de Proyección para la clasificación ---*/

float D[4][120] ={
{0.0515338401130995,0.125263965938667,0.132662727842823,0,0,0,
.198994091764235,0.265325455685647,0.265325455685647,0.464319
547449882,0.0663313639214117,0.198994091764235,0.331656819607
059,0.198994091764235,0.0663313639214117,0.132662727842823,0.
132662727842823,0.132662727842823,0,0,0,0,0,0,0,0,0,0,0,0,0,0,
0,0,0,0,0,0,0,-0.00385515619372307,-0.0269860933560615,-
0.0424067181309538,-0.00771031238744615,-0.0308412495497846,-
0.0192757809686154,-0.0154206247748923,0,0,0,0,-
0.0131154817930459,-0.00983661134478443,0.0532158821283658,-
0.0295098340343533,0.0204271776457510,0.0593531125210722,0.06
26319829693336,-0.0221962857124684,-0.0184969047603903,-
0.0110981428562342,0.0478344591610214,0.0626319829693336,-
0.00739876190415613,0,0,0,0,0,0,0,0,0,0,0,0,0,0,0.0663313639214
```



```
0.00279026738873688,0.000106848793369034,0,0.593586955351085,  
0.474869564280868}  
};
```

```
/*---Parámetros resultante que determina la dirección ---*/  
float matrizSolu[4][1];  
int Direcciones[]={0,90,270,180};
```

```
/*--- Funciones auxiliares AS5048A ---*/
```

```
void vspiCommand(uint16_t *dato);  
void converToDegrees(uint16_t *rawdata, float *degreedata);  
void numDerivative(float *a, float *b, float *c, float  
*numderi, float *output);  
void mediaMovil(float vecDerivada[], int M, float  
vecFiltrado[]);  
void valMaximos( float vecFiltrado[], int vecMaximos[]);  
void gradMaximos(int vecMaximos[], float vecGrados[], float  
vecGradMax[], int M);  
void vecFrecuencia(float vecGradMax[], int vecFrec[]);  
float normaVector(int vecFrec[]);  
void vecGenerador(int vecFrec[], float norm, float  
vecGen[120][1]);  
void multMatrix(float vecProy[4][120], float vecGen[120][1],  
float mSol[4][1]);  
char calcDireccion(float mSol[4][1], char direcciones[]);  
void printVector(float vector[]);  
void printVector_e(int vector[]);
```

1.1.2. Setup

```
void setup() {  
  
    EEPROM.begin(BSEC_MAX_STATE_BLOB_SIZE + 1); // 1st address  
    for the length  
    Serial.begin(115200);  
  
    /*-----  
    -----*/  
    /*-----PARAMETROS WIFI Y THINGSPEAK-----  
    -----*/  
    /*-----  
    -----*/  
    WiFi.begin(ssid, password);
```

```
while(WiFi.status() != WL_CONNECTED) {
    delay(500);
    Serial.println(".");
}

Serial.println("Wifi conectado");
pinMode(LED_BUILTIN, OUTPUT);
digitalWrite(LED_BUILTIN, HIGH);
delay(100);
digitalWrite(LED_BUILTIN, LOW);
delay(100);

ThingSpeak.begin(cliente);

/*-----
-----*/
/*-----PARAMETROS SENSOR BME688-----
-----*/
/*-----
-----*/
Wire.begin(PIN_SDA, PIN_SCL);

iaqSensor.begin(0x77, Wire);
Output = "\nBSEC library version " +
String(iaqSensor.version.major) + "." +
String(iaqSensor.version.minor) + "." +
String(iaqSensor.version.major_bugfix) + "." +
String(iaqSensor.version.minor_bugfix);
Serial.println(Output);
checkIaqSensorStatus();

iaqSensor.setConfig(bsec_config_iaq);
checkIaqSensorStatus();

loadState();

bsec_virtual_sensor_t sensorList[10] = {
    BSEC_OUTPUT_RAW_TEMPERATURE,
    BSEC_OUTPUT_RAW_PRESSURE,
    BSEC_OUTPUT_RAW_HUMIDITY,
    BSEC_OUTPUT_RAW_GAS,
    BSEC_OUTPUT_IAQ,
    BSEC_OUTPUT_STATIC_IAQ,
    BSEC_OUTPUT_SENSOR_HEAT_COMPENSATED_TEMPERATURE,
    BSEC_OUTPUT_SENSOR_HEAT_COMPENSATED_HUMIDITY,
```

Diseño de una estación meteorológica de bajo
coste orientada al internet de las cosas

Anexo 1: Código fuente

```
BSEC_OUTPUT_CO2_EQUIVALENT,  
BSEC_OUTPUT_BREATH_VOC_EQUIVALENT,  
  
};  
  
iaqSensor.updateSubscription(sensorList, 10,  
BSEC_SAMPLE_RATE_LP);  
checkIaqSensorStatus();  
  
// Print the header  
Output = "Timestamp [ms], raw temperature [°C], pressure  
[hPa], raw relative humidity [%], gas [Ohm], IAQ, IAQ  
accuracy, temperature [°C], relative humidity [%], Static  
IAQ, CO2 equivalent, breath VOC equivalent";  
Serial.println(Output);  
  
/*-----*/  
-----*/  
/*-----PARAMETROS SENSOR AS5048A-----*/  
-----*/  
/*-----*/  
-----*/  
  
/*--- Parámetros sensor ---*/  
vspi = new SPIClass(VSPI); //Inicializacion de la  
instancia de la SPIClass adjunta a VSPI  
//vspi -> begin();  
vspi -> begin(VSPI_SCLK, VSPI_MISO, VSPI_MOSI,  
VSPI_SS); //Inicializacion de conexión SPI con los  
pines por defecto, SCLK = 18, MISO = 19, MOSI = 23, SS = 5  
pinMode(VSPI_SS, OUTPUT); //Asignacion de pin 5 como  
salida de SPI  
vspi->beginTransaction(SPISettings(SPEED_MAX, MSBFIRST,  
SPI_MODE1)); //Configura la velocidad máxima de envío de  
datos empezando desde el bit mas significativo, SPIMODE1  
obtenido desde el datasheet.  
  
timer_thingspeak = micros(); //Inicia la  
cuenta desde el inicio de conexión en microsegundos  
timer_as5048a = micros(); //Inicia la  
cuenta desde el inicio de conexión en microsegundos
```

```
}
```

1.1.3. Loop

```
void loop() {

    currentMicros = micros();
    GetReadingsBME688();

    if(currentMicros - timer_as5048a > loopTime_as5048a){
        vspiCommand(&rawData);
        convertToDegrees(&rawData, &degreeData);
        vGrados[indice] = degreeData;

        indice++;
        timer_as5048a = currentMicros;

    }

    if(indice == num_valores){
        for(int i = 1; i<num_valores-1; i++){
            A = vGrados[i-1];
            B = vGrados[i];
            C = vGrados[i+1];

            numDerivative(&A, &B, &C, &numDeri,
&outPut); //Calculo la derivada numérica
            vDeri[i-1] = outPut; //Guarda el valor de la derivada
en un vector

            //Conversion de grad/s a km/h
            //Serial.print("Salida km/h: ");
            windSpeed = (SLOPE * FACTOR_GRAD_SEC_TO_KM_H) * outPut
+ OFFSET;

            vSpeed[i-1] = windSpeed;

        }

        //Obtencion de velocidad media
        float sumatorio = 0;
```

```
for(int i = 0; i < num_valores; i++){
    sumatorio += vSpeed[i];
}
meanWindSpeed = sumatorio / num_valores;

f_windDirecction();
Serial.print("Salida km/h: ");
Serial.println(meanWindSpeed);

Serial.print("Dirección viento: ");
Serial.println(windDirecction);
}

if(currentMicros - timer_thingspeak >
loopTime_thingspeak){ //Si se superan los 15 seg, se envian
los datos a thingspeak
    Serial.println("Envio de datos a ThingSpeak");
    SendDataToThingSpeak1();
    timer_thingspeak = currentMicros;
}
}
```

1.1.4. Funciones de ThingSpeak

```
/*-----*/
-----*/
/*-----FUNCIONES PARA ENVÍO DE DATOS A THINGSPEAK-----*/
-----*/
-----*/

void SendDataToThingSpeak1(){ //Valores a enviar si todo
funciona correctamente
    ThingSpeak.setField(1, bme688.Temperature);
    ThingSpeak.setField(2, bme688.Humidity);
    ThingSpeak.setField(3, bme688.Pressure);
    ThingSpeak.setField(4, bme688.Static_IAQ);
    ThingSpeak.setField(5, bme688.BreathVocEquivalent);
    ThingSpeak.setField(6, bme688.IAQ_Accuracy);
```

```
ThingSpeak.setField(7, meanWindSpeed);
ThingSpeak.setField(8, windDirecction);

ThingSpeak.writeFields(channelID,WriteAPIKey);

Serial.println("Datos enviados a ThingSpeak!");
//timer2 = currentMillis;

}
```

1.1.5. Funciones BME688

```
/*-----
-----*/
/*-----FUNCIONES PARA EL SENSOR BME688-----
-----*/
/*-----
-----*/

void GetReadingsBME688() { //Funcion que obtiene el valor
del sensor BME688
  unsigned long time_trigger = millis();
  if (iaqSensor.run()) { // If new data is available
    Output = String(time_trigger);
    Output += ", " + String(iaqSensor.rawTemperature);
    Output += ", " + String(iaqSensor.rawTemperature);
    Output += ", " + String(iaqSensor.pressure);
    Output += ", " + String(iaqSensor.rawHumidity);
    Output += ", " + String(iaqSensor.gasResistance);
    Output += ", " + String(iaqSensor.iaq);
    Output += ", " + String(iaqSensor.iaqAccuracy);
    Output += ", " + String(iaqSensor.temperature);
    Output += ", " + String(iaqSensor.humidity);
    Output += ", " + String(iaqSensor.staticIaq);
    Output += ", " + String(iaqSensor.co2Equivalent);
    Output += ", " + String(iaqSensor.breathVocEquivalent);

    Serial.println(Output);
    Serial.println("-----
");

  } else {
    checkIaqSensorStatus();
  }
}
```

```
}

bme688.Temperature = iaqSensor.temperature;
bme688.Pressure = iaqSensor.pressure;
bme688.Humidity = iaqSensor.humidity;
bme688.GasResistance = iaqSensor.gasResistance;
bme688.IAQ = iaqSensor.iaq;
bme688.Static_IAQ = iaqSensor.staticIaq;
bme688.CO2_Equivalent = iaqSensor.co2Equivalent;
bme688.BreathVocEquivalent =
iaqSensor.breathVocEquivalent;
bme688.IAQ_Accuracy = iaqSensor.iaqAccuracy;

}

// Helper function definitions
void checkIaqSensorStatus(void)
{
    if (iaqSensor.status != BSEC_OK) {
        if (iaqSensor.status < BSEC_OK) {
            Output = "BSEC error code : " +
String(iaqSensor.status);
            Serial.println(Output);
            for (;;)
                errLeds(); /* Halt in case of failure */
        } else {
            Output = "BSEC warning code : " +
String(iaqSensor.status);
            Serial.println(Output);
        }
    }
}

if (iaqSensor.bme680Status != BME680_OK) {
    if (iaqSensor.bme680Status < BME680_OK) {
        Output = "BME680 error code : " +
String(iaqSensor.bme680Status);
        Serial.println(Output);
        for (;;)
            errLeds(); /* Halt in case of failure */
    } else {
        Output = "BME680 warning code : " +
String(iaqSensor.bme680Status);
        Serial.println(Output);
    }
}
}
```



```
void errLeds(void)
{
    pinMode(LED_BUILTIN, OUTPUT);
    digitalWrite(LED_BUILTIN, HIGH);
    delay(100);
    digitalWrite(LED_BUILTIN, LOW);
    delay(100);
}

void loadState(void)
{
    if (EEPROM.read(0) == BSEC_MAX_STATE_BLOB_SIZE) {
        // Existing state in EEPROM
        Serial.println("Reading state from EEPROM");

        for (uint8_t i = 0; i < BSEC_MAX_STATE_BLOB_SIZE; i++) {
            bsecState[i] = EEPROM.read(i + 1);
            Serial.println(bsecState[i], HEX);
        }

        iaqSensor.setState(bsecState);
        checkIaqSensorStatus();
    } else {
        // Erase the EEPROM with zeroes
        Serial.println("Erasing EEPROM");

        for (uint8_t i = 0; i < BSEC_MAX_STATE_BLOB_SIZE + 1;
i++)
            EEPROM.write(i, 0);

        EEPROM.commit();
    }
}

void updateState(void)
{
    bool update = false;
    if (stateUpdateCounter == 0) {
        /* Set a trigger to save the state. Here, the state is
saved every STATE_SAVE_PERIOD with the first state being
saved once the algorithm achieves full calibration, i.e.
iaqAccuracy = 3 */
        if (iaqSensor.iaqAccuracy >= 3) {
            update = true;
            stateUpdateCounter++;
        }
    } else {
        /* Update every STATE_SAVE_PERIOD milliseconds */
    }
}
```

```
    if ((stateUpdateCounter * STATE_SAVE_PERIOD) < millis())
    {
        update = true;
        stateUpdateCounter++;
    }
}

if (update) {
    iaqSensor.getState(bsecState);
    checkIaqSensorStatus();

    Serial.println("Writing state to EEPROM");

    for (uint8_t i = 0; i < BSEC_MAX_STATE_BLOB_SIZE ; i++) {
        EEPROM.write(i + 1, bsecState[i]);
        Serial.println(bsecState[i], HEX);
    }

    EEPROM.write(0, BSEC_MAX_STATE_BLOB_SIZE);
    EEPROM.commit();
}
}
```

1.1.6. Funciones AS5048A

```
/*-----*/
-----*/
/*-----FUNCIONES PARA EL SENSOR AS5048A-----*/
-----*/
/*-----*/
-----*/

/*-----Funcion para calcular la velocidad y direccion del
viento-----*/

void f_windDirecction(){

    mediaMovil(vDeri, Mo, vec_Filtrado);

    valMaximos( vec_Filtrado, vec_Maximos);
```

```
gradMaximos(vec_Maximos,vGrados,vec_Grados_maximos, Mo);

vecFrecuencia(vec_Grados_maximos, vec_Frecuencias);

norma = normaVector(vec_Frecuencias);

vecGenerador(vec_Frecuencias, norma, vec_Generador);

multMatrix(D, vec_Generador, matrizSolu);

windDirecction = calcDirecccion(matrizSolu, Direcciones);

if(windDirecction != 0 && windDirecction != 90 &&
windDirecction != 180 && windDirecction != 270){
    windDirecction = vGrados[399];
    Serial.print("Ultimo grado: ");
    Serial.println(vGrados[399]);
}

indice = 0;
}

/*-----Lectura de sensor AS5048A-----*/

void vspiCommand(uint16_t *dato) { //Funcion de conexión
SPI entre ESP32 y sensor AS5048A
//uint16_t data = 0b1111111111111111; //Comando de lectura
(0xFFFF)
//float valor = 0;

/*--- Uso de SPI similar a como se haria con la API SPI de
Arduino ---*/

// Envio de comando
digitalWrite(VSPI_SS, LOW); //Tirar la SS abajo para
preparar el otro extremo para la transferencia
vspi->transfer16(data);
digitalWrite(VSPI_SS, HIGH); //Tirar la SS alto para
indicar el fin de la transferencia de datos

// Recibiendo lectura
digitalWrite(VSPI_SS, LOW);
*dato = vspi->transfer16(data); //Almacenamiento de valor
en bruto en variable pasada por puntero
```

Diseño de una estación meteorológica de bajo
coste orientada al internet de las cosas

Anexo 1: Código fuente

```
digitalWrite(VSPI_SS, HIGH);
vspi->endTransaction();           //Fin de conexion via SPI
con el sensor

*dato = *dato & 0b0011111111111111; //Aplicacion de unas
mascara de bits, recogo los 14 bits

}

/*-----Conversion de valores a grados-----*/

void converToDegrees(uint16_t *rawdata, float *degreedata) {
    *degreedata = (float) * rawdata / 16384.0 * 360.0; //2^14 =
16384
}

/*-----Función que calcula la derivada numérica-----
-----*/

void numDerivative(float *a, float *b, float *c, float
*numderi, float *output) {

    if (*a > *b && *b > *c) { //Si se sigue un orden
desdencente y en sentido horario
        *numderi = (*b - *c) / timeSample; //Aplicacion de la
derivada
        if (abs(*numderi) > 90) { //Si el resultado es mayor
que 90 grados/seg
            *output = *numderi;
            //Serial.print("Valor 1:");
            //Serial.println(*numderi); //Imprime el resultado
        } else { //Caso contrario
            *numderi = 0; //Imprime un cero
            *output = *numderi;
            //Serial.print("Valor 2:");
            //Serial.println(*numderi);
        }
    } else { //En caso que no se siga un orden descendente
        if (*a > *b && *b < *c) { //Si el ultimo valor ingresado
es mayor que el segundo Y el segundo es menor que el tercero
INDICA discontinuidad
            if (abs(*b - *c) > 350) { //Si el ultimo valor absoluto
de la diferencia entre b y c es superior a 350 grados
                *b = *b + 360; //Realizamos la corrección
            }
        }
    }
}
```

Diseño de una estación meteorológica de bajo coste orientada al internet de las cosas

Anexo 1: Código fuente

```
        *numderi = (*b - *c) / timeSample; //Aplicamos la
derivada
        if (abs(*numderi) > 90) { //Si es mayor que 90
grad/seg
            *output = *numderi;
            //Serial.print("Valor 3:");
            //Serial.println(*numderi); //Imprime el valor
        } else { //Caso contrario
            *numderi = 0; //Resultado es cero
            *output = *numderi;
            //Serial.print("Valor 4:");
            //Serial.println(*numderi);
        }
    } else { //En caso que (b-c) no sea superior a 350
        *numderi = 0; //Se devuelve un cero
        *output = *numderi;
        //Serial.print("Valor 5:");
        //Serial.println(*numderi);
    }
} else if (*a < *b && *b > *c) { //Entonces si el valor c
es menor que b, y b es mayor que a INDICA que la
discontinuidad ha pasado de b PERO no nos afecta
        *numderi = (*b - *c) / timeSample; //Aplicamos la
derivada
        if (abs(*numderi) > 90) { //Verificamos si es mayor
que 90 grad/s
            *output = *numderi;
            //Serial.print("Valor 6:");
            //Serial.println(*numderi); //Si es mayor
imprimimos
        } else { //Caso contrario
            *numderi = 0; //Valor derivada es cero
            *output = *numderi;
            //Serial.print("Valor 7:");
            //Serial.println(*numderi);
        }
    } else if (*a < *b && *b < *c) { //Entonces si a es menor
que b, y b es menor que c INDICA que el sentido de giro es
anti-horario
        *numderi = 0; //Devolvemos un valor de 0
        *output = *numderi;
        //Serial.print("Valor 8:");
        //Serial.println(*numderi);
    } else { //Entonces si es otro caso
        *numderi = 0; //Devolvemos un valor de 0
igualmente
        *output = *numderi;
        //Serial.print("Valor 10:");
    }
}
```

```
        //Serial.println(*numderi);
    }

}

    if(*numderi < 50000 ){ //Los 50000 es la puerta de error
cuando existe un cambio de 0 a 360, donde se obtiene una
derivada de 72000.
        *output = *numderi;
        //Serial.print("Valor de salida 1: ");
        //Serial.println(*output);
    }else{
        *numderi = 0;
        *output = 0;
        //Serial.print("Valor de salida 2: ");
        //Serial.println(*output);

        //Serial.println(numderi);
    }
}

/*-----Función que filtra la señal de derivada empleando
una media movil-----*/

void mediaMovil(float vecDerivada[], int M, float
vecFiltrado[]){
    float sumatorio = 0;

    for(int i = 0; i < num_valores - M ; i++){
        for(int j = 0; j < M; j++){
            sumatorio += vecDerivada[i+j];
            //Serial.print("valor Deri: ");
            //Serial.println(vecDerivada[i+j]);

        }

        vecFiltrado[i] = sumatorio/(float)M;

        //Serial.print("sumatorio: ");
        //Serial.println(sumatorio);
        //Serial.print("Media: ");
        //Serial.println(vecFiltrado[i]);
        sumatorio = 0;
    }
}
```

```
/*-----Función que obtiene los valores máximos locales de  
la señal filtrada-----*/
```

```
void valMaximos( float vecFiltrado[], int vecMaximos[]){  
    for(int i = 1; i < num_valores - 1;i++){  
        if(vecFiltrado[i] > vecFiltrado[i-1] && vecFiltrado[i] >  
vecFiltrado[i+1]){  
            vecMaximos[i] = i;  
            //Serial.print("Valor maximo: ");  
            //Serial.println(vecMaximos[i]);  
        }  
    }  
}
```

```
/*-----Función que obtiene los grados correspondientes a  
las maximas velocidades-----*/
```

```
void gradMaximos(int vecMaximos[], float vecGrados[], float  
vecGradMax[], int M){  
    int contador = 0;  
  
    for(int i = 0; i< num_valores; i++){  
        if(vecMaximos[i] != 0){  
            vecGradMax[contador] = vecGrados[i+M/2];  
            contador+=1;  
        }  
    }  
  
    contador = 0;  
}
```

```
/*-----Función que obtiene la frecuencia absoluta de los  
grados-----*/
```

```
void vecFrecuencia(float vecGradMax[], int vecFrec[]){  
  
    for(int i = 0; i < num_valores; i++){  
        if(vecGradMax[i] != 0){  
            float cociente = vecGradMax[i] / 3.0;  
            int posicion = cociente;
```

```
        vecFrec[posicion] +=1;
    }
}

/*-----Función que calcula la norma del vector de
frecuencias absolutas-----*/

float normaVector(int vecFrec[]){
    float x = 0.0;
    for(int i = 0; i < 120; i++){
        x += pow(vecFrec[i],2);
        //Serial.print("El valor de x: ");
        //Serial.println(x);
    }
    return sqrt(x);
}

/*-----Función que calcula el vector caracteristico de la
señal recibida-----*/

void vecGenerador(int vecFrec[], float norm, float
vecGen[120][1]){

    for(int i = 0; i < 120; i++){
        for(int j = 0; j < 1; j++){
            vecGen[i][j] = float(vecFrec[i])/norm;
            /*Serial.println(vecFrec[i]/norm);
            Serial.println(vecGen[i][j]);
            Serial.print(i);
            Serial.print(",");
            Serial.println(j);*/
        }

        //Serial.println(vecGen[i][0]);
    }
}

/*-----Función que multiplica matrices-----*/
```



```
void multMatrix(float vecProy[4][120], float vecGen[120][1],
float mSol[4][1]){

    long double val = 0.0;
    for(int i = 0; i<4; i++){ //

        for(int j = 0; j < 1; j++){ //

            //mSol[i][j] = 0;
            val = 0.0;

            for(int h = 0; h < 120; h++){ //Multiplicacion de
matrices

                val = val +(vecProy[i][h]*vecGen[h][j]);

                //mSol[i][j] = mSol[i][j] +
(vecProy[i][h]*vecGen[h][j]);

                /*Serial.print(float(val) );
Serial.print(",");
Serial.print(vecProy[i][h]);
Serial.print(",");
Serial.println(vecGen[h][j]);
Serial.print(i);
Serial.print(",");
Serial.print(j);
Serial.print(",");
Serial.println(h);*/

            }

            mSol[i][j] = float(val);
            val = 0.0;

            /*Serial.println("Dato:");
Serial.println(mSol[i][j]);
Serial.print(i);
Serial.print(",");
Serial.println(j);*/

        }
    }

    val = 0.0;
```

```
}

/*-----Función que calcula la dirección del viento-----
-----*/

int calcDireccion(float mSol[4][1], int direcciones[]){

    int direccion;
    float a,b,c,d;

    a = mSol[0][0];
    b = mSol[1][0];
    c = mSol[2][0];
    d = mSol[3][0];
    /*Serial.println("Funcion cal:" );
    Serial.println(a);
    Serial.println(b);
    Serial.println(c);
    Serial.println(d);
    Serial.println("-----" );*/

    if(a > b && a > c && a > d){
        direccion = direcciones[0];
    }else if(b > a && b > c && b > d){
        direccion = direcciones[1];
    }else if(c > a && c > b && c > d){
        direccion = direcciones[2];
    }else if(d > a && d > b && d > c){
        direccion = direcciones[3];
    }

    return direccion;
}

/*-----Funciones que imprimen vectores por el puerto
serie-----*/

void printVector_e(int vector[]){
    for(int i = 0; i <120; i++){
        Serial.println(vector[i], 4);
    }
}
```

```
    Serial.println("-----");  
    Serial.println("-----");  
}  
  
void printVector(float vector[]){  
    for(int i = 0; i < num_valores; i++){  
        Serial.println(vector[i], 4);  
    }  
}  
}
```

1.2. PROGRAMA ESPDUINO-32, AS5048A Y LABVIEW

```
#include <WiFi.h>           //Libreria para uso de WiFi del  
ESP32  
#include <WiFiUDP.h>       //Libreria Wifi para conexio UDP  
#include <SPI.h>           //Librería SPI  
  
/*--- Conexion ESP32 y LabView ----*/  
  
// Implementacion de WIFI  
const char* ssid = "iPhone de Jonathan"; //Nombre de red  
WIFI  
const char* password = "12345678";      //Contraseña de  
red  
const char* address = "172.20.10.2";    //Dirección IP de  
receptor, Labview  
unsigned int localPort = 7000;           //Puerto emisor  
const int16_t puerto_remoto = 7001;     //Puerto receptor  
  
WiFiClient Cliente;                   //Variable para  
conexión WIFI  
WiFiUDP Udp;                           //Variable para  
conexión UDP via WIFI  
  
unsigned long timer = 0;                //Variable  
para la cuenta de tiempo transcurrido  
unsigned long tiempoFrecuenciaMuestreo = 5000; //Frecuencia  
muestreo 200hz, 5ms o 5000us  
#define numero_datos 10                 //Tamaño de  
muestras a agregar en el array a enviar via UDP
```

```
uint16_t paquete[numero_datos];           //Array que
almacena las muestras del sensor AS5048A

/*--- Conexion ESP32 y AS5048A ---*/

static const int SPEED_MAX = 1000000;     //1MHz velocidad de
comunicación del periodo de reloj serial
uint16_t rawData = 0;                     //Variable para
almacenar los valores en bruto leídos por el sensor
int indice = 0;                           //Variable para
recorrer el array de enteros donde se almacena los datos en
bruto

/*--- Punteros orientados a objetos de SPI ---*/

SPIClass *vspi = NULL;
uint16_t data = 0b1111111111111111; // Comando de lectura
(0xFFF)

// Definición de pines SPI
#define VSPI_MISO 19                       //Conexion MISO asignado a
pin 19
#define VSPI_MOSI 23                       //Conexion MOSI asignado a
pin 23
#define VSPI_SCLK 18                       //Conexion CLK asignado a pin
18
#define VSPI_SS 5                          //Conexion SS asignado a pin
5

void setup() {
    Serial.begin(2000000);                 //Inicialización de puerto
serie a 2000000 baudios

    /*--- WIFI ---*/
    WiFi.mode(WIFI_STA);                 //Modo de conexión de la
ESP32 como estación (dispositivo que se conecta a un punto de
acceso)
    WiFi.begin(ssid, password);          //Inicialización de conexión
a la red WIFI asignada
    while(WiFi.status() != WL_CONNECTED){ //Condiciona que si
no esta conectado a la red wifi, espere hasta recibir señal
        Serial.println(".");             //imprimiendo un
punto
        delay(500);                       //cada 500ms
    }
}
```

```
    Serial.print("Wifi conectado: ");           //Imprime que se ha
conectado a la red WIFI
    Serial.println(WiFi.localIP());           //además de indicar
la dirección IP local

    Serial.println("Iniciando conexión con el servidor... ");
    Udp.begin(localPort);                     //Inicializa la
conexión UDP

    timer = micros();                         //Inicia la cuenta
desde el inicio de conexión en microsegundos

    /*--- Parámetros sensor ---*/
    vspi = new SPIClass(VSPI); //Inicialización de la
instancia de la SPIClass adjunta a VSPI
    vspi -> begin();                //Inicialización de conexión
SPI con los pines por defecto, SCLK = 18, MISO = 19, MOSI =
23, SS = 5
    pinMode(VSPI_SS, OUTPUT); //Asignación de pin 5 como
salida de SPI
    vspi->beginTransaction(SPISettings(SPEED_MAX, MSBFIRST,
SPI_MODE1)); //Configura la velocidad máxima de envío de
datos empezando desde el bit mas significativo, SPIMODE1
obtenido desde el datasheet.

}

void loop() {

    unsigned long currentMicros = micros(); //Marca de
tiempo

    if(currentMicros - timer >=
tiempoFrecuenciaMuestreo){ //Comparación entre tiempos
requeridos acorde a la frecuencia de muestreo asignada
        vspiCommand(&rawData); //Llamada a función de lectura de datos del sensor y paso por
referencia de variable para almacenar valores
        paquete[indice] =
rawData; //Almacenamiento de
valor bruto en el array de enteros
        indice++; //Incremento de variable indice para almacenar el siguiente
valor
```

```
    timer =
currentMicros;                                //Actualizaci
ón de variable timer
}

    if(indice == numero_datos){                //Si el
indice equivale al numero de datos por muestra requeridos
    Udp.beginPacket(address,
puerto_remoto); //Inicializa el envio de paquete via UDP
    Udp.write((uint8_t*)paquete,
numero_datos*sizeof(uint16_t)); //Conversion de paquete de
datos a entero de 8 bits sin signo y escritura del mismo con
su tamaño original de 16 bits
    Udp.endPacket(); //Finalizacion de envio UDP
    indice = 0; //Reinicio de indice
}

}

void vspiCommand(uint16_t *dato){ //Funcion de conexión
SPI entre ESP32 y sensor AS5048A

    /*--- Uso de SPI similar a como se haria con la API SPI de
Arduino ---*/

    // Envio de comando
    digitalWrite(VSPI_SS, LOW); //Tirar la SS abajo para
preparar el otro extremo para la transferencia
    vspi->transfer16(data);
    digitalWrite(VSPI_SS, HIGH); //Tirar la SS alto para
indicar el fin de la transferencia de datos

    // Recibiendo lectura
    digitalWrite(VSPI_SS, LOW);
    *dato = vspi->transfer16(data); //Almacenamiento de valor
en bruto en variable pasada por puntero
    digitalWrite(VSPI_SS, HIGH);
    vspi->endTransaction(); //Fin de conexion via SPI
con el sensor

    *dato = *dato & 0b0011111111111111; //Aplicacion de unas
mascara de bits, recogo los 14 bits

}
```

1.3. MATLAB: ENSAYO 1

```
%Previo al uso del presente código se requiere cargar los ficheros

n = 500; %Definición de número de muestras a emplear
x = 0:n; %Vector

%Velocidades (grados/s) y posición (grados)

y = Velocidad_prim_der_sin_filtro(1:n+1);
y = sgolayfilt(y,4,21);
yi = -y; %Inversion de datos para encontrar los minimos

p = Grados(1:n+1);

%Localización de máximos y mínimos
[~, pos_max] = findpeaks(y,"MinPeakDistance",5,"MinPeakProminence",5);
[~, pos_min] = findpeaks(yi,"MinPeakDistance",5,"MinPeakProminence",5);

figure

% Top plot

tiledlayout(3,1) %División de una ventana para representar tres gráficos

% Top plot

nexttile

plot(x,y);
hold on
plot(pos_max, y(pos_max), 'rv','MarkerFaceColor', 'r');
```

```
plot(pos_min,y(pos_min),'rs','MarkerFaceColor','g');
title('Suroeste - 40 Km/h')
xlabel('Tiempo')
ylabel('Velocidad (g/s)')
hold off

% Bottom plot
nexttile
plot(x,p)
%title('Posición (grados) - Tiempo')
hold on
plot(x,p,'o','MarkerIndices',pos_max,'MarkerFaceColor','red')
plot(x,p,'o','MarkerIndices',pos_min,'MarkerFaceColor','g')
xlabel('Tiempo')
ylabel('Posición (grados)')
hold off

%Localización de posiciones angulares de los máximos y mínimos locales
pos_grados_max = Grados(pos_max);
pos_grados_min = Grados(pos_min);

%Conversión de posiciones angulares de grados a radianes
rad_max = deg2rad(pos_grados_max);
rad_min = deg2rad(pos_grados_min);

%Representación gráfica en un plano polar
nexttile
polarscatter(rad_max,1,'r','filled')
hold on
polarscatter(rad_min,1.5,'g','filled')

title('Posición de máximos y mínimos')

hold off
```

1.4. MATLAB: ENSAYO 2

Se presenta el código a utilizar para la obtención del histograma correspondiente a la dirección Norte. Se emplea el mismo código para las direcciones Este, Oeste y Sur, con la diferencia que se cambia los archivos y nombre de variables.

```
%Creacion de histogramas de las 4 direcciones. Usamos velocidad de 40km/h  
%en todos:
```

```
%Vector de grados de 0 a 360 espaciado 3 posiciones, 120 grados en total  
brks = linspace(0,360,121);
```

```
%%%%%%%%%%%%%% NORTE:
```

```
%Importación de datos
```

```
xN = importdata('Dirección de directorio a utilizar');  
xN = xN.data(:,1:3);
```

```
xN(:,1) = 0:length(xN(:,1))-1;
```

```
% Filtración con función sgolay
```

```
xNf = filtro(xN(:,3));
```

```
%Gráfica de la señal de velocidad
```

```
plot(xN(:,1),xN(:,3),'LineWidth',1)
```

```
hold on
```

```
plot(xN(:,1),xNf,'Color','r','LineWidth',1)
```

```
title("Comparación señales Norte 40km/h: filtrada vs. sin filtrar")
```

```
xlabel('Tiempo')
```

```
ylabel('Velocidad (grados/s)')
```

```
hold off
```

```
%Calculo de máximos y mínimos locales de la señal filtrada
```

```
xNM = max1(xNf);
```

```
xNm = min1(xNf);
```

```
%Obtención de los grados correspondientes a los máximos y mínimos
```

```
aNM = xN(xNM,2);  
aNm = xN(xNm,2);  
  
%Cálculo de histograma con máximos  
figure  
hNM = histogram(aNM,brks);  
title('Histograma de valores máximos: Norte a 40km/h')  
xlabel('Grados')  
ylabel('Frecuencia absoluta')  
  
%Cálculo de histograma con mínimos  
figure  
hNm = histogram(aNm,brks);  
title('Histograma de valores mínimos: Norte a 40km/h')  
xlabel('Grados')  
ylabel('Frecuencia absoluta')
```

Tras obtener los cuatro histogramas almacenados en diferentes variables, se procede a graficar un histograma en conjunto.

```
%Grafico de histogramas mínimos en conjunto
```

```
figure  
histogram(aNm,brks);  
  
hold on  
histogram(aEm,brks);  
histogram(aWm,brks);  
histogram(aSm,brks);  
title('Histograma de valores mínimos')  
xlabel('Grados')  
ylabel('Frecuencia absoluta')  
hold off
```

```
legend('Norte','Este','Oeste','Sur','location','best')
```

Después, se obtiene la matriz de proyección.

```
%%%%%%%%%% MATRIZ DE PROYECCIÓN PARA CLASIFICAR CON MAXIMOS
```

```
%Primero se recogen los histogramas anteriores en una  
% matriz de generadores M
```

```
%Creacion de vectores de cada direccion
```

```
Norte = vectorGenerador(hNM)
```

```
Este = vectorGenerador(hEM)
```

```
Oeste = vectorGenerador(hWM)
```

```
Sur = vectorGenerador(hSM)
```

```
%Creacion de matriz de generadores
```

```
M = [Norte;Este;Oeste;Sur]
```

```
%Transpuesta de matriz para colocar cada direccion por cada columna
```

```
M = M'
```

```
%Creación de imagen de la matriz de generadores
```

```
image(M,'CDataMapping','scaled')
```

```
title("Huella de valores máximos de las direcciones")
```

```
xlabel('Columna de direcciones: N - E - W - S')
```

```
ylabel('Frecuencia')
```

```
%Creacion de la matriz de proyección
```

```
G = M'* M %Producto escalar, obtencion de matriz métrica
```

Autor: **Jonathan** Chamba Benítez

424.21.14

```
D = inv(G)*M' %Matriz de proyección
```

Las funciones llamadas en los pasos anteriores se ubican siempre al final de programa en la ventana de Live Editor.

```
function y = min1(x) %Función que detecta los mínimos locales
```

```
    n = length(x);
```

```
    b = 1:length(x);
```

```
    for i = 2:(n-1)
```

```
        if(x(i) < x(i-1) && x(i) < x(i+1))
```

```
            y(i) = b(i);
```

```
        end
```

```
    end
```

```
    y(y==0)=[];
```

```
end
```

```
function y = max1(x) %Función que detecta los máximos locales
```

```
    n = length(x);
```

```
    b = 1:length(x);
```

```
    for i = 2:(n-1)
```

```
        if(x(i) > x(i-1) && x(i) > x(i+1))
```

```
            y(i) = b(i);
```

```
        end
```

```
    end
```

```
    y(y==0)=[];
```

```
end
```

```
function y = filtro(x) %Función que aplica un filtro Savitzky–Golay de orden 4
```

```
    orden = 4;
```

```
longitudFrame = 21;  
y = sgolayfilt(x,orden,longitudFrame);  
end  
  
function y = vectorGenerador(h) %Funcion que obtiene el vector generador de cada  
histograma  
    hc = h.Values;  
    nr = norm(hc);  
    y = hc/nr;  
end
```

2. ANEXO 2: DIAGRAMAS DE ACTIVIDAD UML

Este anexo incluye los diagramas de flujo que describen el código fuente.

2.1. PROGRAMA PRINCIPAL

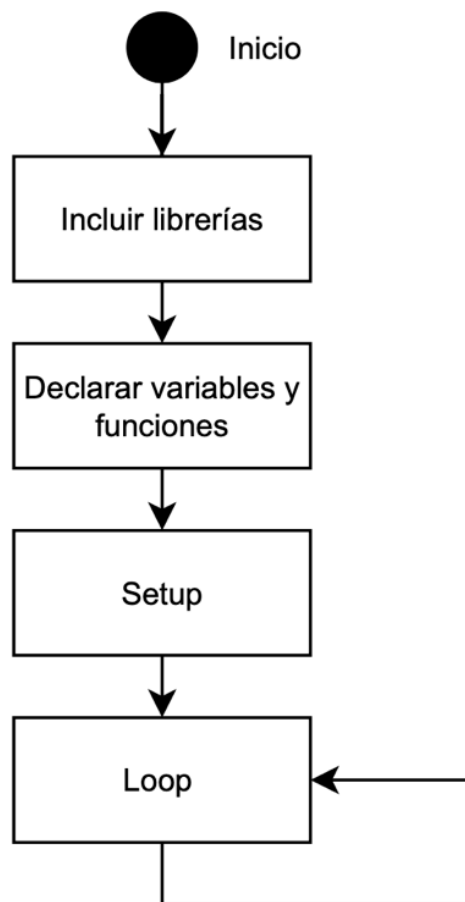


Ilustración 1. Diagrama UML: Funcionamiento conceptual del software del prototipo

2.1.1. Setup

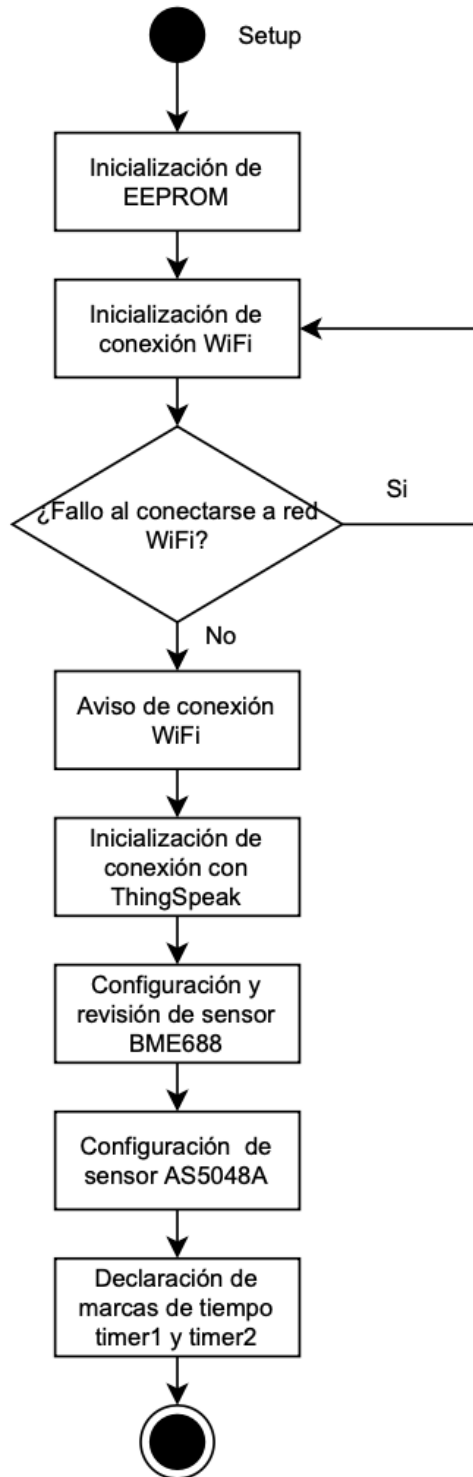


Ilustración 2. Diagrama UML: Setup del código de programación general

2.1.2. Loop

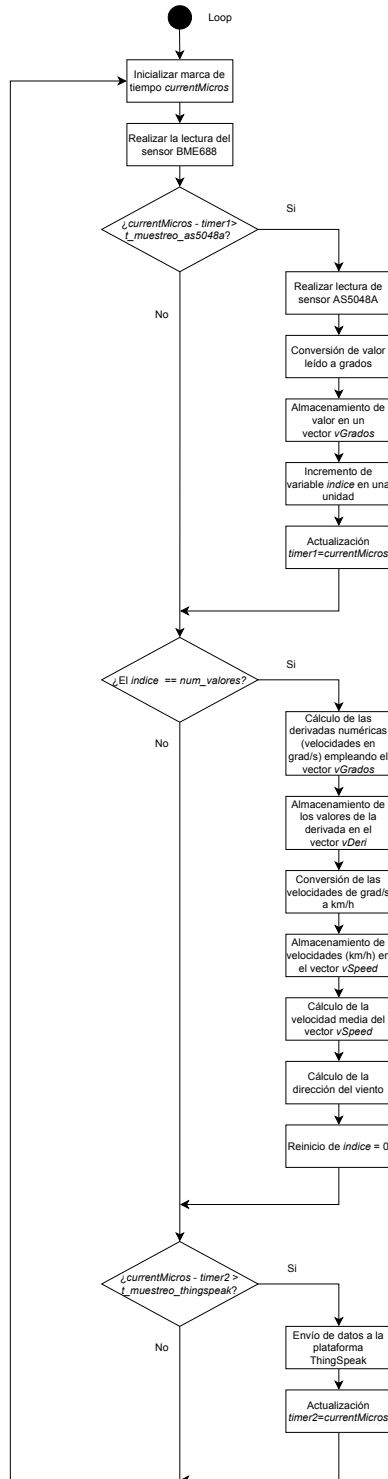


Ilustración 3. Diagrama UML: Loop del código de programación general

2.2. ESPDUINO-32 Y AS5048A

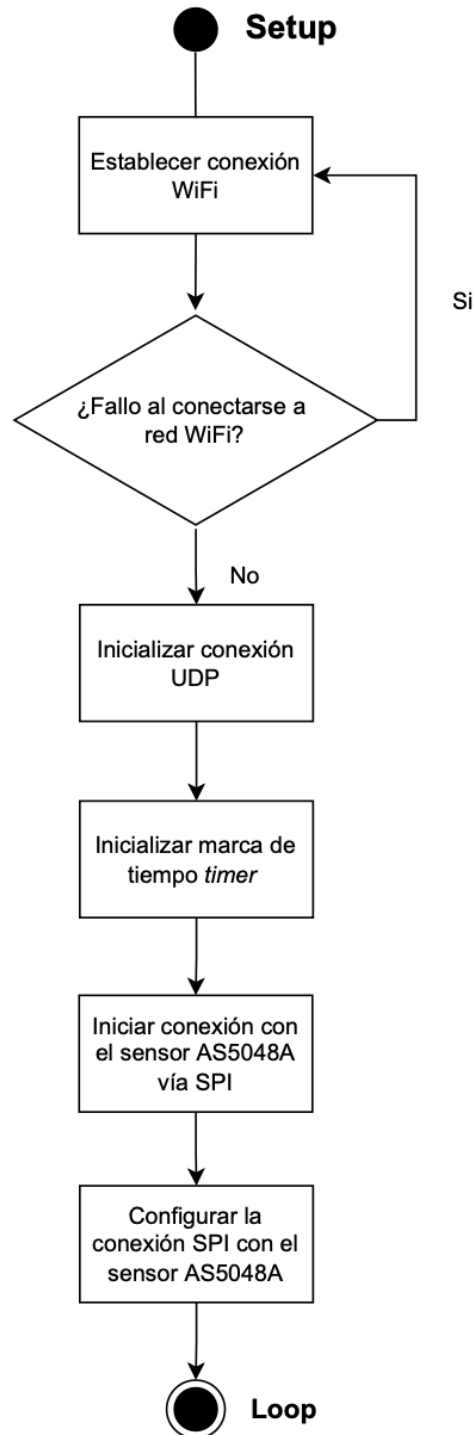


Ilustración 4. Diagrama UML: Setup de la comunicación ESP32, AS5048A y LabVIEW

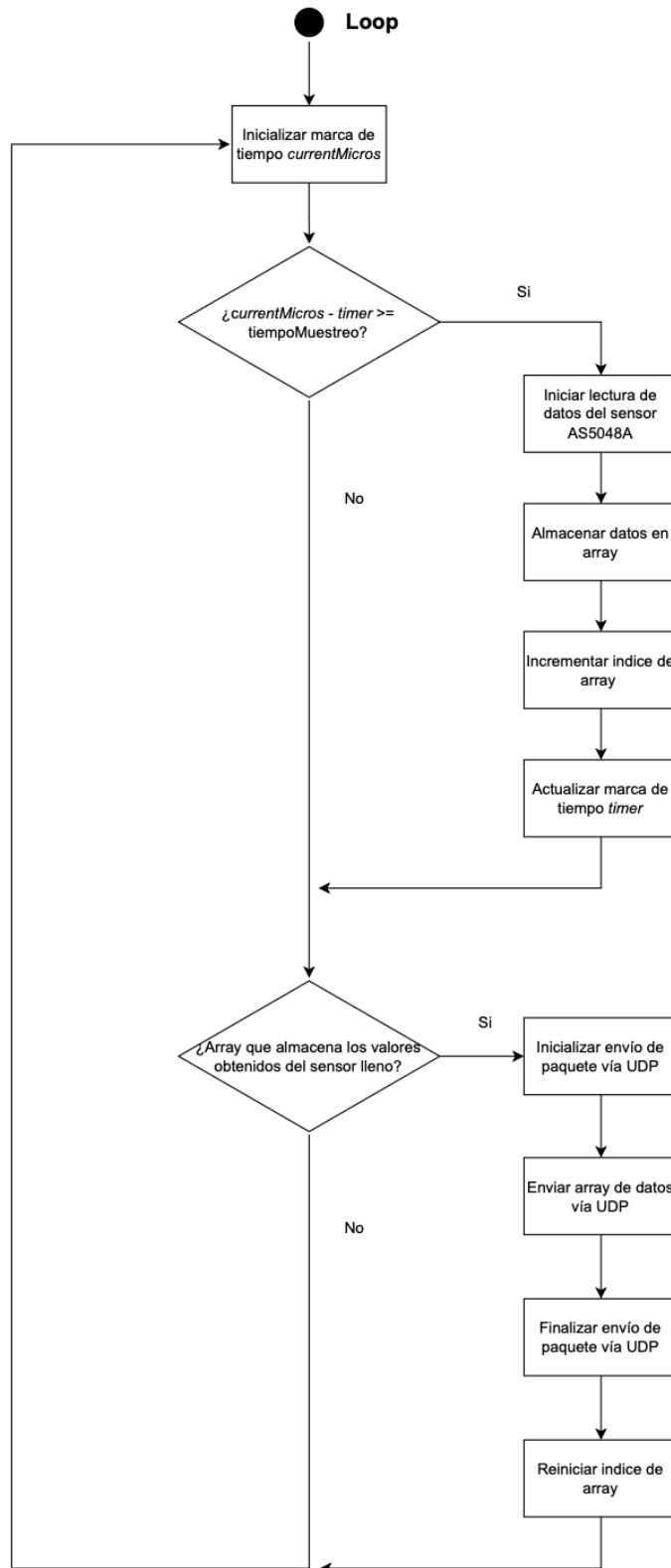


Ilustración 5. Diagrama UML: Loop de la comunicación de ESP32, AS5048A y LabVIEW

2.3. ESPDUINO-32 Y LABVIEW

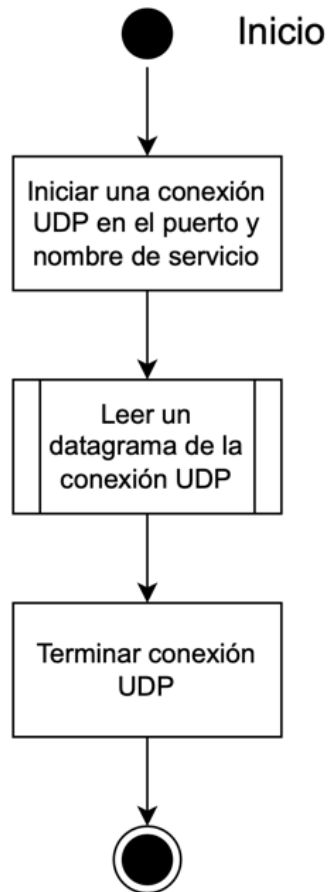


Ilustración 6. Diagrama UML: funcionamiento conceptual de LabVIEW

Diseño de una estación meteorológica de bajo coste orientada al internet de las cosas

Anexo 2: Diagramas de actividad UML

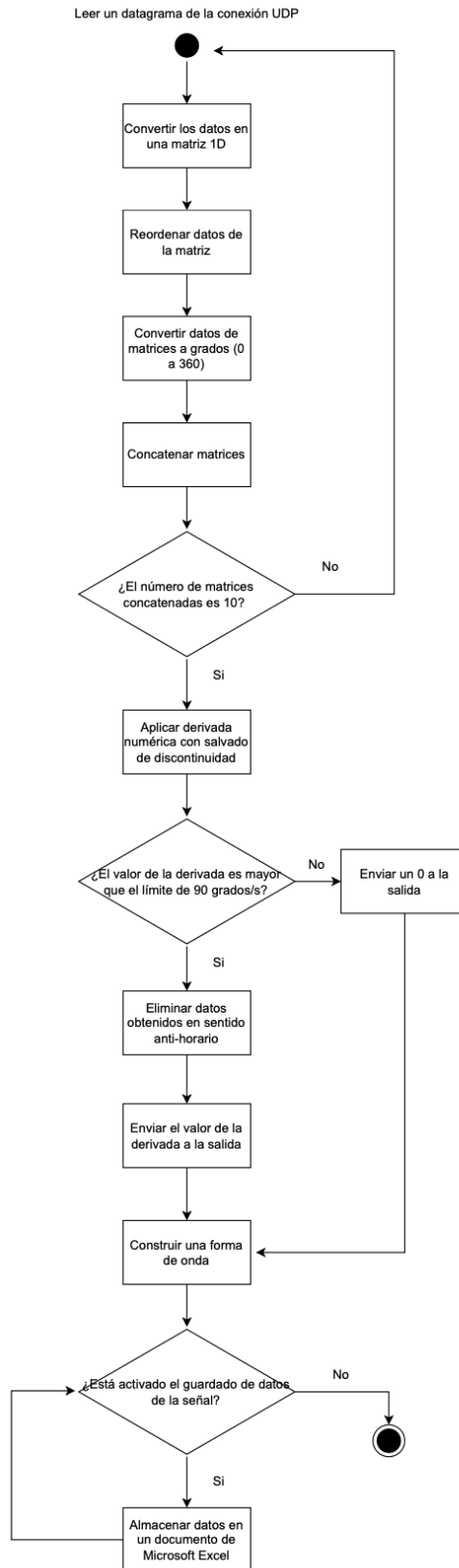


Ilustración 7. Procesamiento de datos en LabVIEW

2.4. CÓDIGO MATLAB

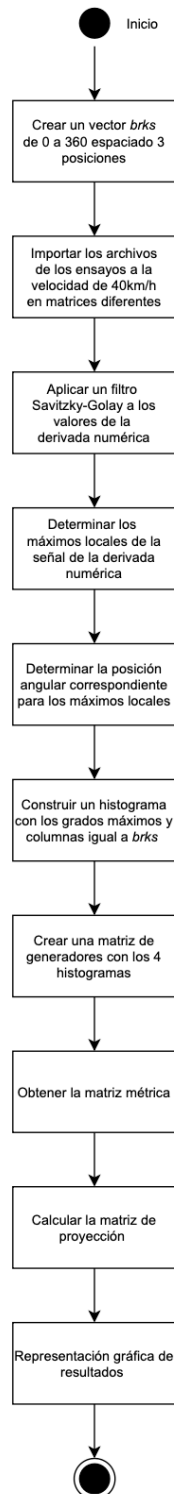
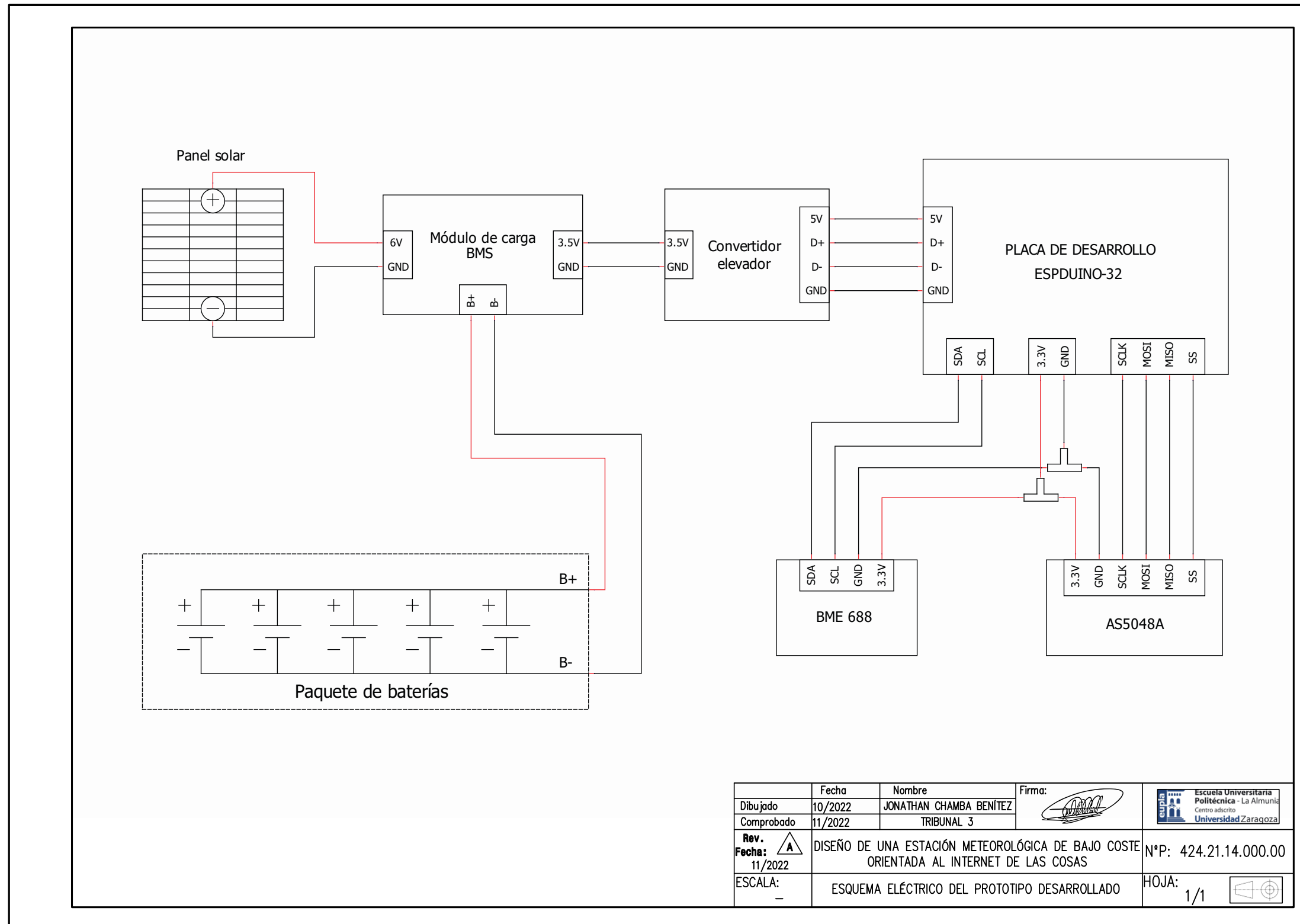


Ilustración 8. Creación de sistema de clasificación en Matlab.

3. ANEXO 3: ESQUEMA ELÉCTRICO



4. ANEXO 4: MODIFICACIÓN DE IDE ARDUINO

En este apartado se presentan los pasos a seguir para habilitar la lectura de las librerías BSEC en el entorno de desarrollo de Arduino.

El primer paso es identificar la ubicación del archivo *platform.txt* perteneciente para la configuración de la ESP32.

Para ello en el cuadro de preferencias, se necesita abrir el archivo que se indica a continuación.

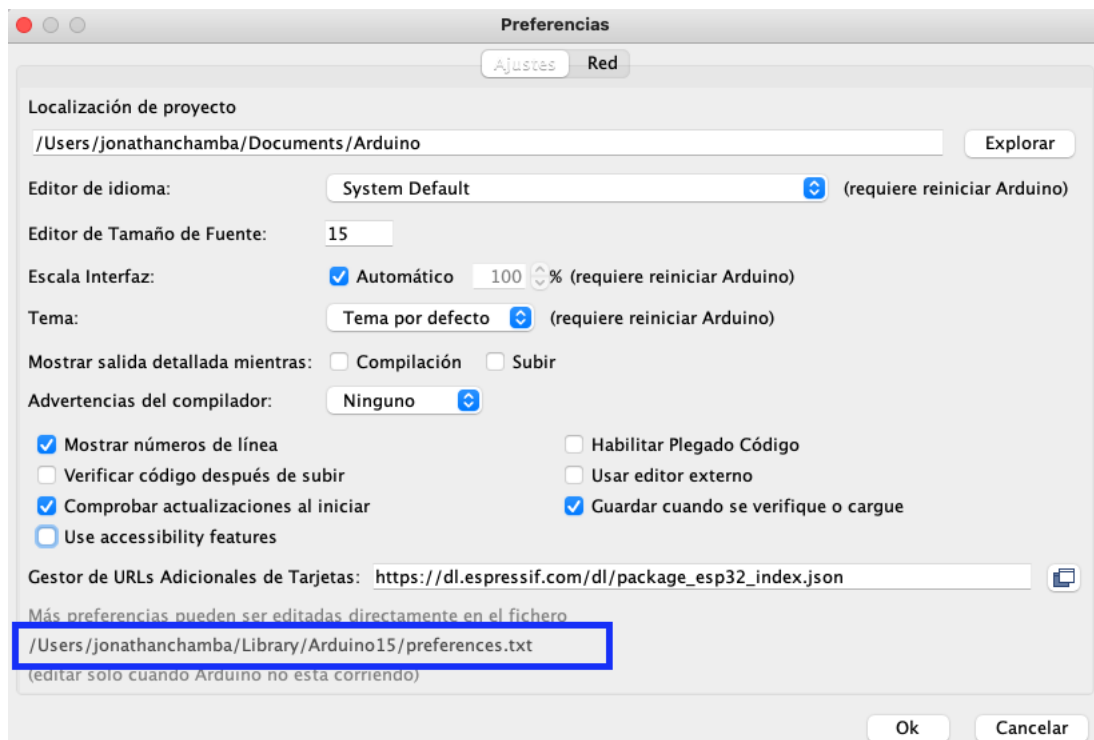
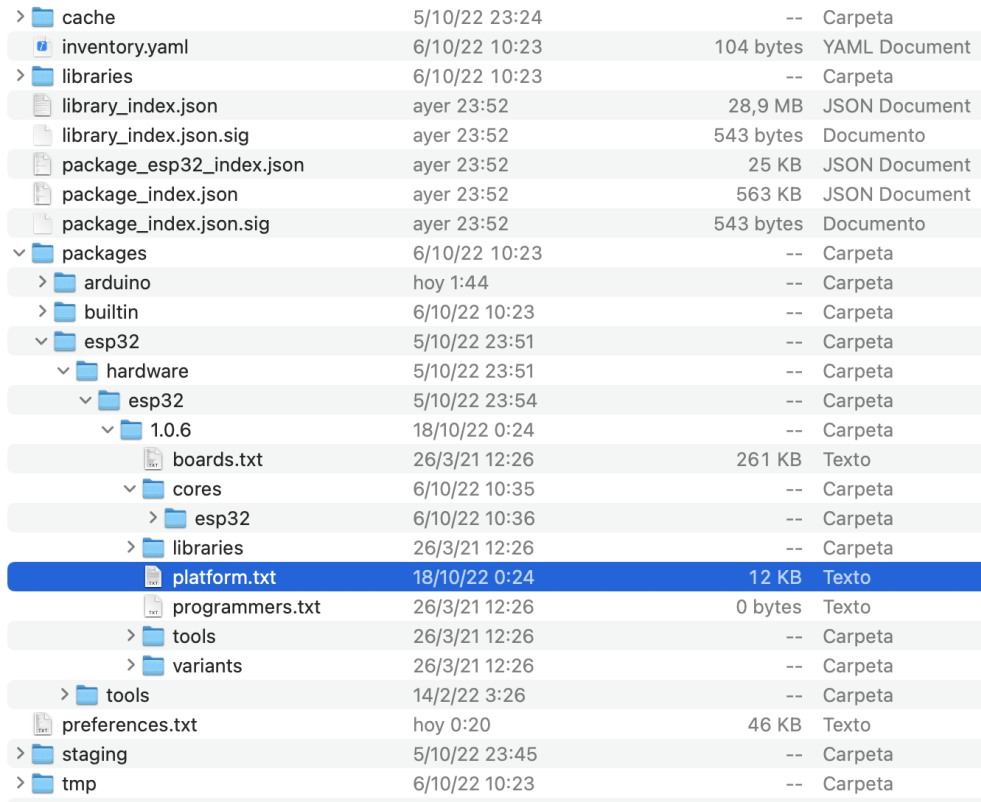


Ilustración 9. Ventana de preferencias del IDE de Arduino

Desplegada la ventana emergente, se procede a abrir la carpeta correspondiente a la ESP32.

Diseño de una estación meteorológica de bajo coste orientada al internet de las cosas

Anexo 4: Modificación de IDE Arduino



> cache	5/10/22 23:24	--	Carpeta
inventory.yaml	6/10/22 10:23	104 bytes	YAML Document
> libraries	6/10/22 10:23	--	Carpeta
library_index.json	ayer 23:52	28,9 MB	JSON Document
library_index.json.sig	ayer 23:52	543 bytes	Documento
package_esp32_index.json	ayer 23:52	25 KB	JSON Document
package_index.json	ayer 23:52	563 KB	JSON Document
package_index.json.sig	ayer 23:52	543 bytes	Documento
> packages	6/10/22 10:23	--	Carpeta
> arduino	hoy 1:44	--	Carpeta
> builtin	6/10/22 10:23	--	Carpeta
> esp32	5/10/22 23:51	--	Carpeta
> hardware	5/10/22 23:51	--	Carpeta
> esp32	5/10/22 23:54	--	Carpeta
> 1.0.6	18/10/22 0:24	--	Carpeta
boards.txt	26/3/21 12:26	261 KB	Texto
> cores	6/10/22 10:35	--	Carpeta
> esp32	6/10/22 10:36	--	Carpeta
> libraries	26/3/21 12:26	--	Carpeta
platform.txt	18/10/22 0:24	12 KB	Texto
programmers.txt	26/3/21 12:26	0 bytes	Texto
> tools	26/3/21 12:26	--	Carpeta
> variants	26/3/21 12:26	--	Carpeta
> tools	14/2/22 3:26	--	Carpeta
preferences.txt	hoy 0:20	46 KB	Texto
> staging	5/10/22 23:45	--	Carpeta
> tmp	6/10/22 10:23	--	Carpeta

Ilustración 10. Ubicación de archivo `platform.txt` de la ESP32 en la carpeta Arduino15

Una vez abierto el archivo con un procesador de texto, se debe identificar que la siguiente línea se encuentra definida.

```
Compiler.libraries.ldflags=
```

Posteriormente se identifica la siguiente parte de código.

```
## Combine gc-sections, archives, and objects
```

```
recipe.c.combine.pattern="{compiler.path}{compiler.c.elf.cmd}"  
{compiler.c.elf.flags} {compiler.c.elf.extra_flags}  
{compiler.libraries.ldflags} -Wl,--start-group {object_files}  
"{archive_file_path}" {compiler.c.elf.libs} {build.extra_libs} -Wl,--end-  
group -Wl,-EL -o "{build.path}/{build.project_name}.elf"
```

Y se lo modifica tal como se indica a continuación.

```
## Combine gc-sections, archives, and objects
```



```
recipe.c.combine.pattern="{compiler.path}{compiler.c.elf.cmd}"  
{compiler.c.elf.flags} {compiler.c.elf.extra_flags}  
{compiler.libraries.ldflags} -Wl,--start-group {object_files}  
"{archive_file_path}" {compiler.c.elf.libs}  
{build.extra_libs}{compiler.libraries.ldflags} -Wl,--end-group -Wl,-  
EL -o "{build.path}/{build.project_name}.elf"
```

Se observa en negrita la modificación realizada. Se ha implementado el *Compiler.libraries.ldflags* después la directiva *-start group*.

Realizado los cambios se procede a guardar el archivo y reiniciar el IDE de Arduino.

5. APÉNDICE 1: GRÁFICOS DE ENSAYO 1

5.1. DISEÑO DE ROTOR 1

Se presentan los diferentes gráficos obtenidos del ensayo 1 (versión 1).

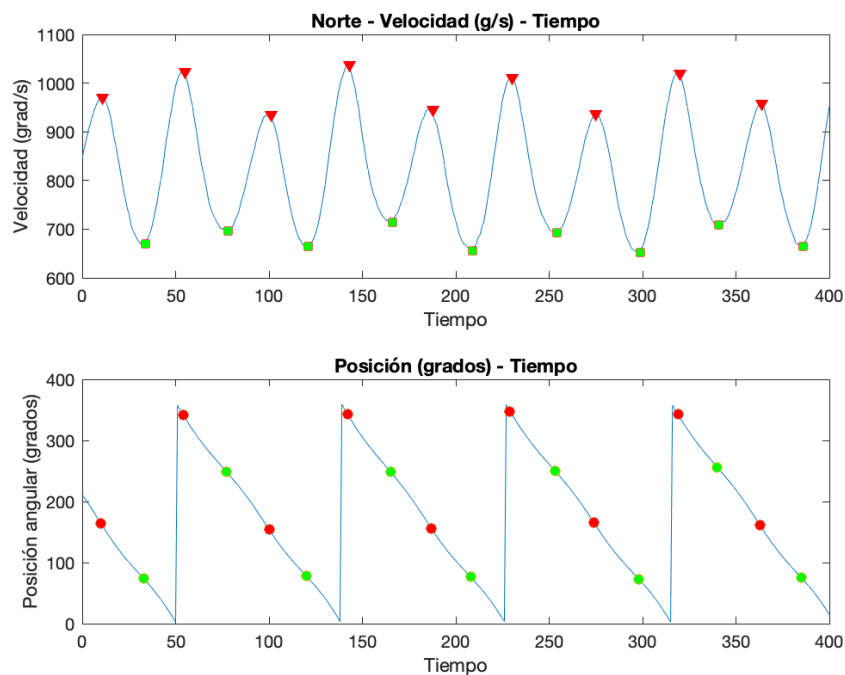


Ilustración 11. Diseño de rotor 1: máximos y mínimos locales de dirección Norte (v1)

Diseño de una estación meteorológica de bajo
coste orientada al internet de las cosas

Apéndice 1: Gráficos de ensayo 1

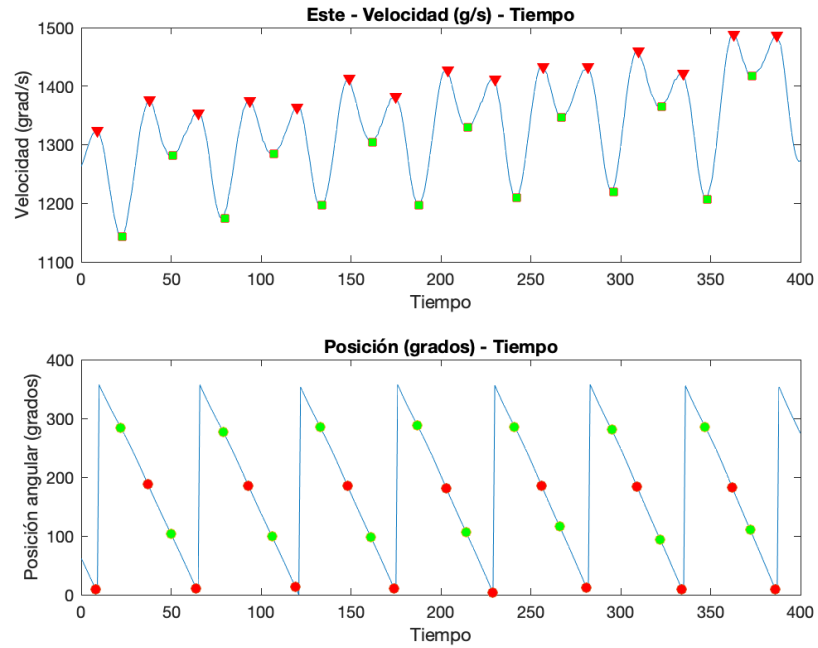


Ilustración 12. Diseño de rotor 1: máximos y mínimos locales de dirección Este (v1)

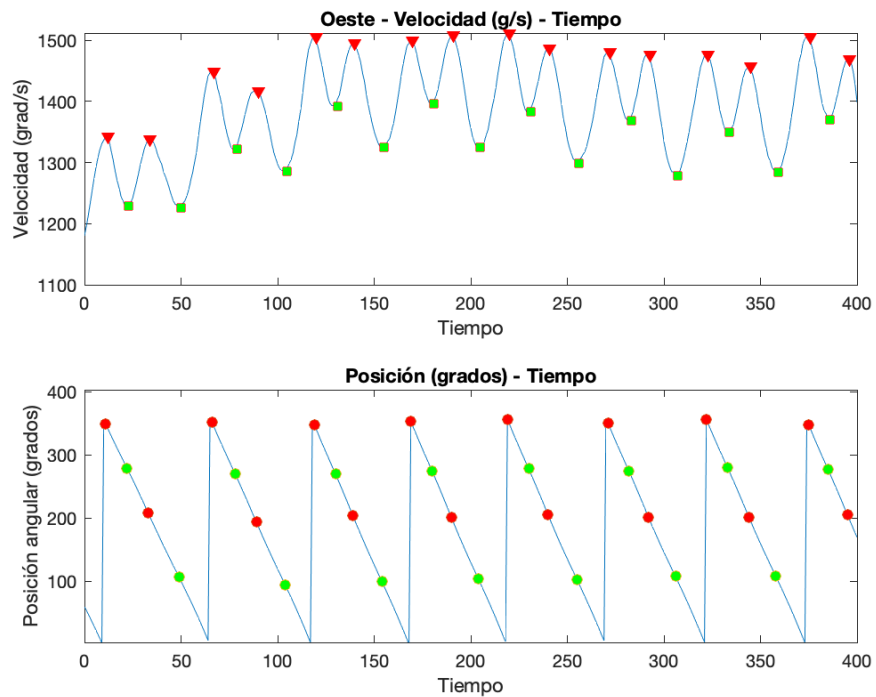


Ilustración 13. Diseño de rotor 1: máximos y mínimos locales de dirección Oeste (v1)

Diseño de una estación meteorológica de bajo
coste orientada al internet de las cosas

Apéndice 1: Gráficos de ensayo 1

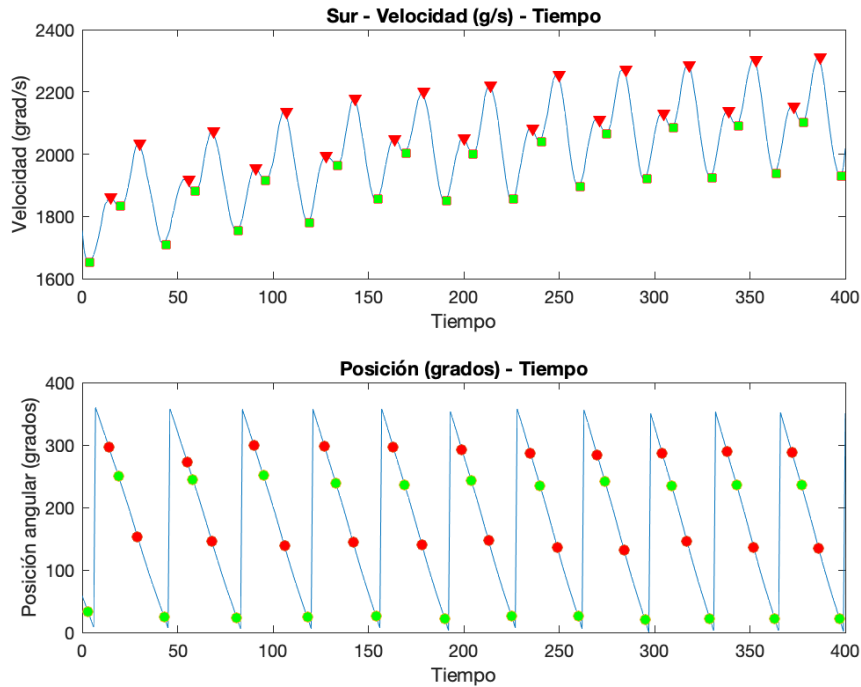


Ilustración 14. Diseño de rotor 1: máximos y mínimos locales de dirección Sur (v1)

Los resultados obtenidos al repetir el ensayo con el diseño 1 son los siguientes.

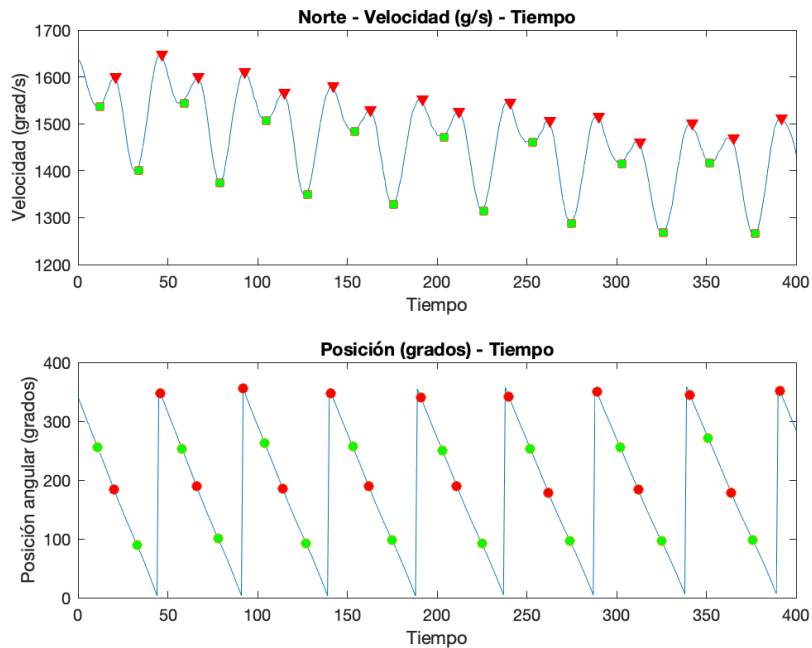


Ilustración 15. Diseño de rotor 1: máximos y mínimos locales de dirección Norte (v2)

Diseño de una estación meteorológica de bajo
coste orientada al internet de las cosas

Apéndice 1: Gráficos de ensayo 1

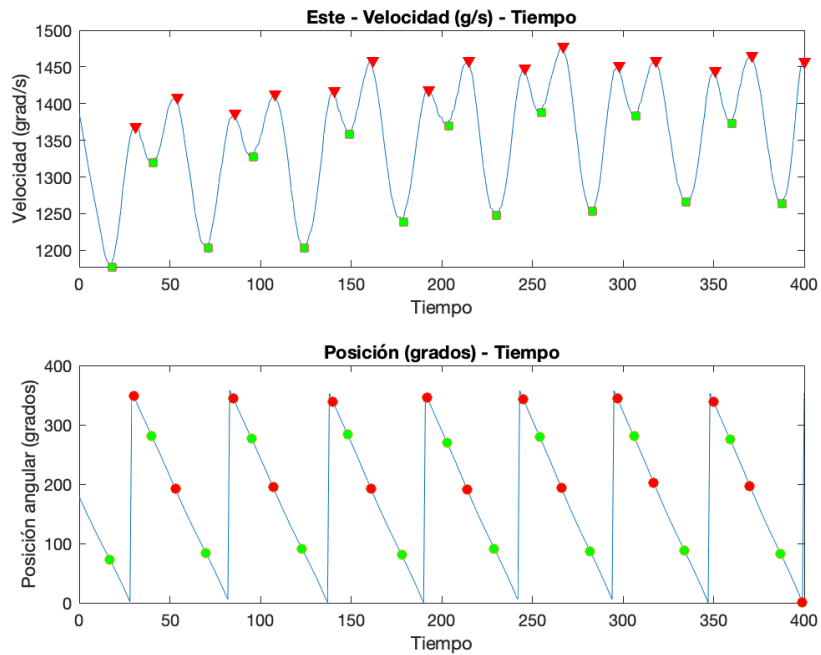


Ilustración 16. Diseño de rotor 1: máximos y mínimos locales de dirección Este (v2)

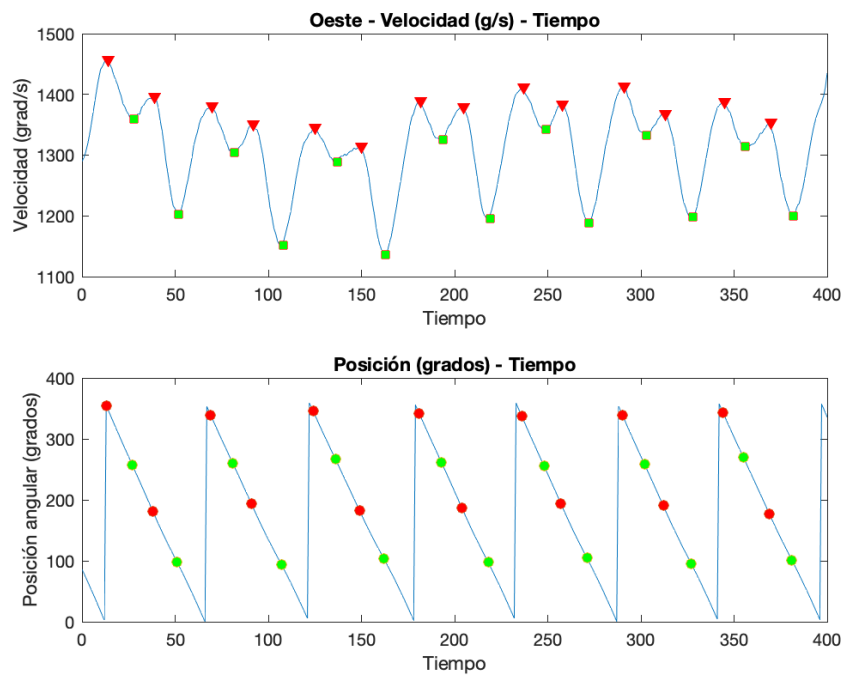


Ilustración 17. Diseño de rotor 1: máximos y mínimos locales de dirección Oeste (v2)

Diseño de una estación meteorológica de bajo coste orientada al internet de las cosas

Apéndice 1: Gráficos de ensayo 1

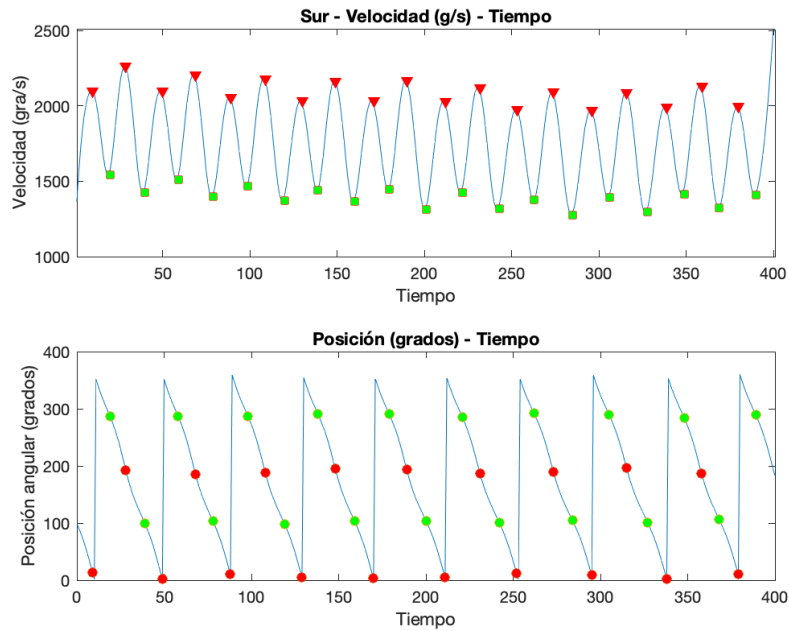


Ilustración 18. Diseño de rotor 1: máximos y mínimos locales de dirección Sur (v2)

5.2. DISEÑO DE ROTOR 2

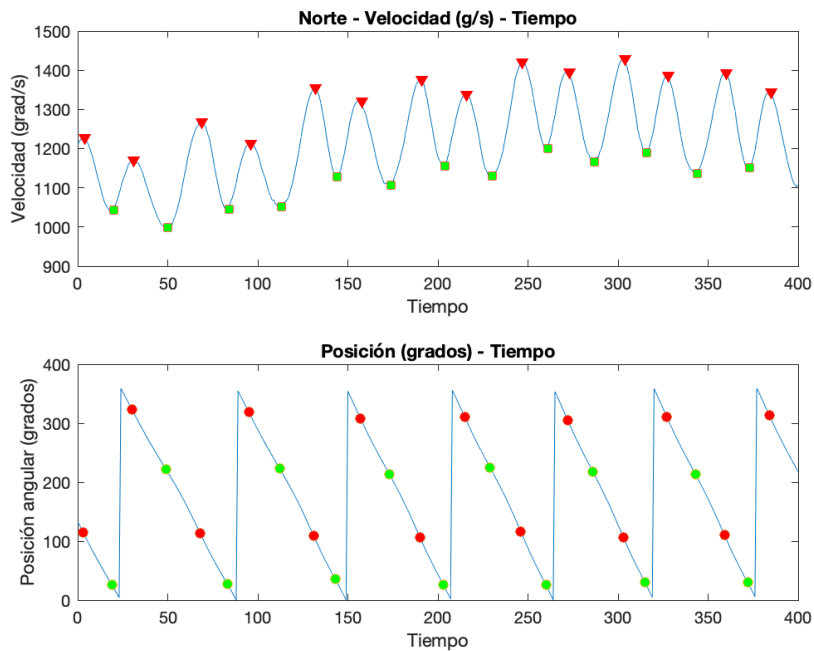


Ilustración 19. Diseño de rotor 2: máximos y mínimos locales de dirección Norte (v1)

Diseño de una estación meteorológica de bajo
coste orientada al internet de las cosas

Apéndice 1: Gráficos de ensayo 1

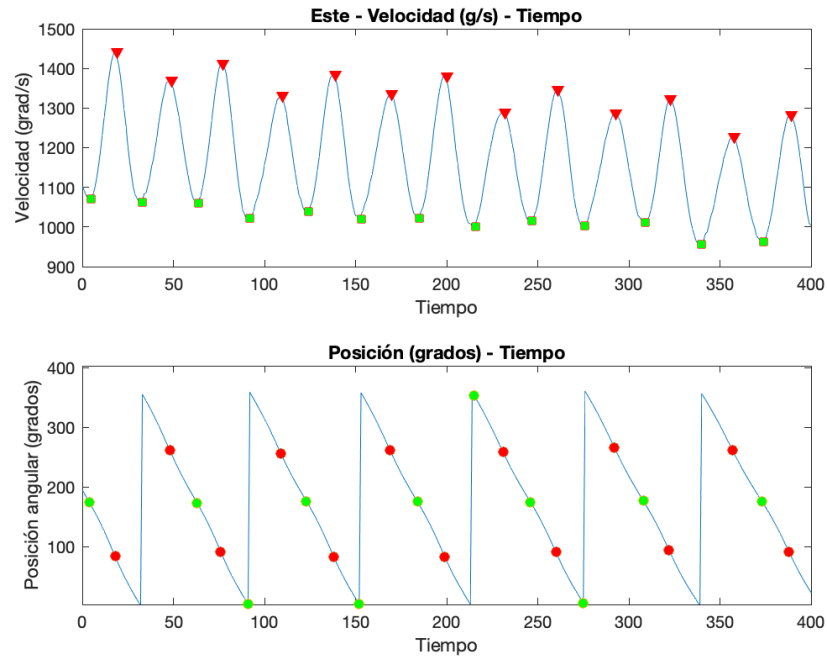


Ilustración 20. Diseño de rotor 2: máximos y mínimos locales de dirección Este (v1)

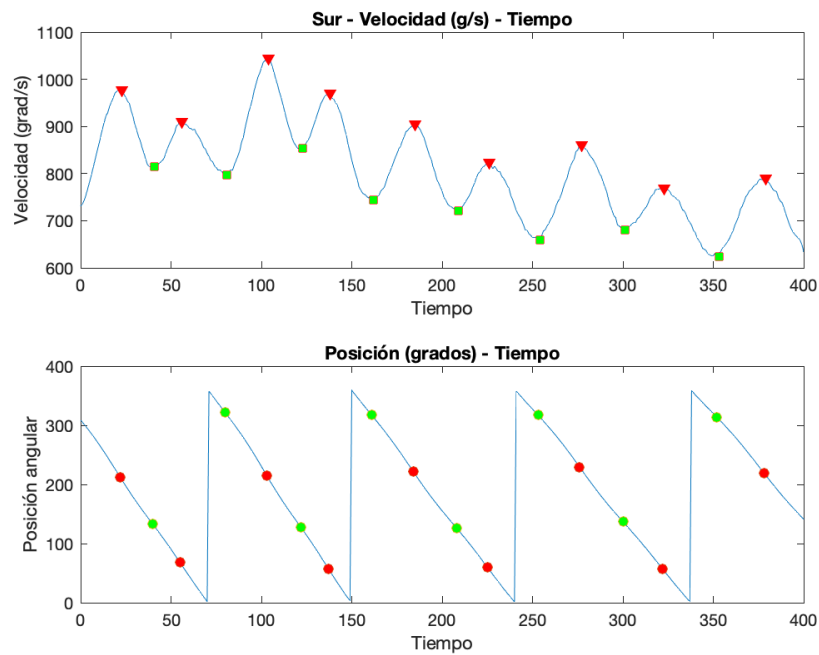


Ilustración 21. Diseño de rotor 2: máximos y mínimos locales dirección Sur (v1)

Diseño de una estación meteorológica de bajo
coste orientada al internet de las cosas

Apéndice 1: Gráficos de ensayo 1

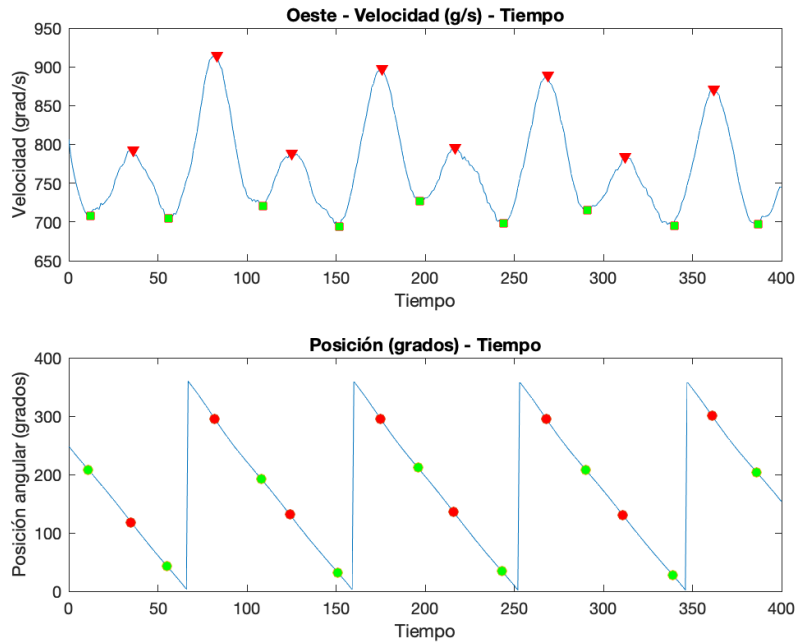


Ilustración 22. Diseño de rotor 2: máximos y mínimos locales dirección Oeste (v1)

Los resultados obtenidos al repetir el ensayo 1 con el diseño de rotor 2 son los siguientes:

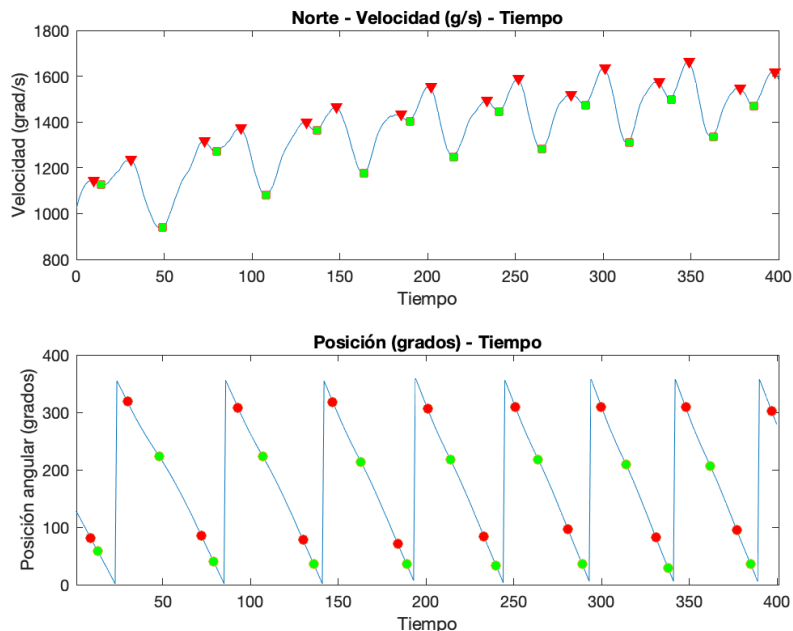


Ilustración 23. Diseño de rotor 2: máximos y mínimos locales dirección Norte (v2)

Diseño de una estación meteorológica de bajo coste orientada al internet de las cosas

Apéndice 1: Gráficos de ensayo 1

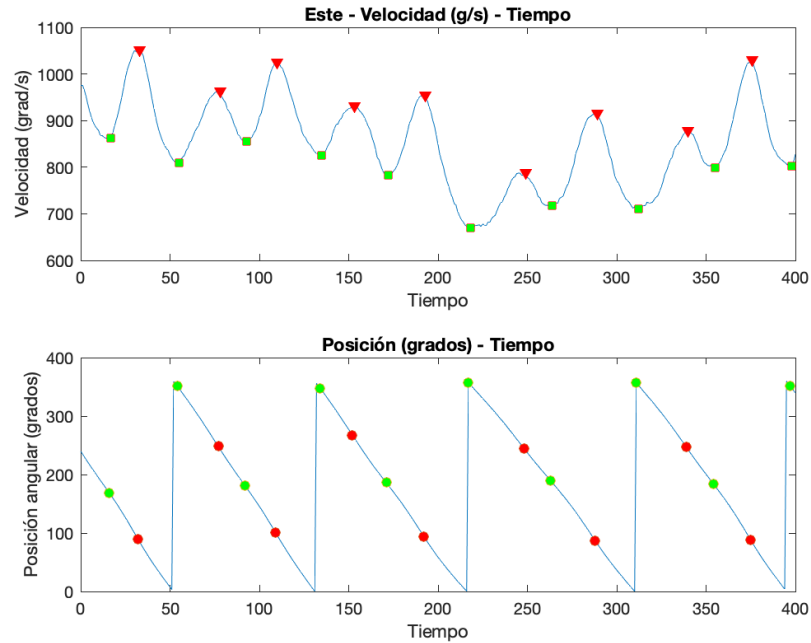


Ilustración 24. Diseño de rotor 2: máximos y mínimos locales dirección Este (v2)

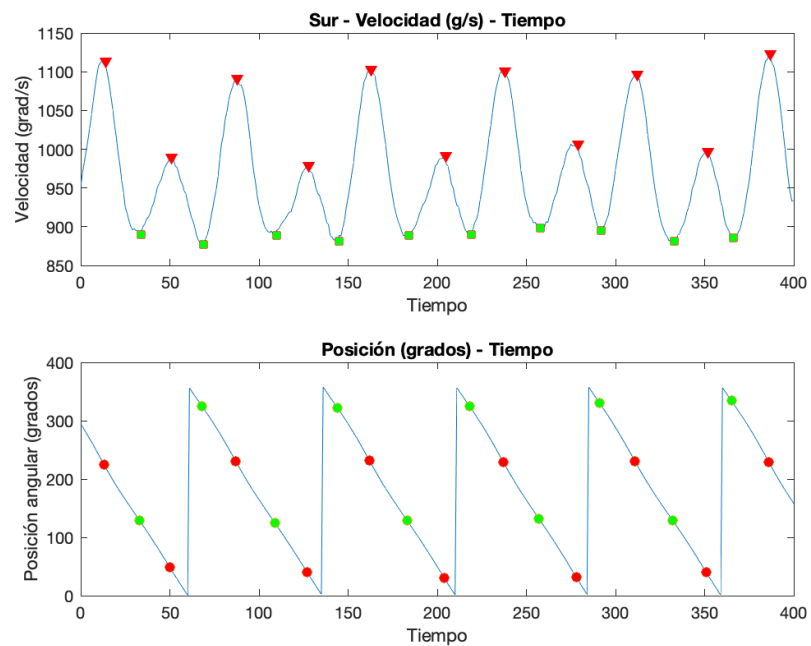


Ilustración 25. Diseño de rotor 2: máximos y mínimos locales dirección Sur (v2)

Diseño de una estación meteorológica de bajo
coste orientada al internet de las cosas

Apéndice 1: Gráficos de ensayo 1

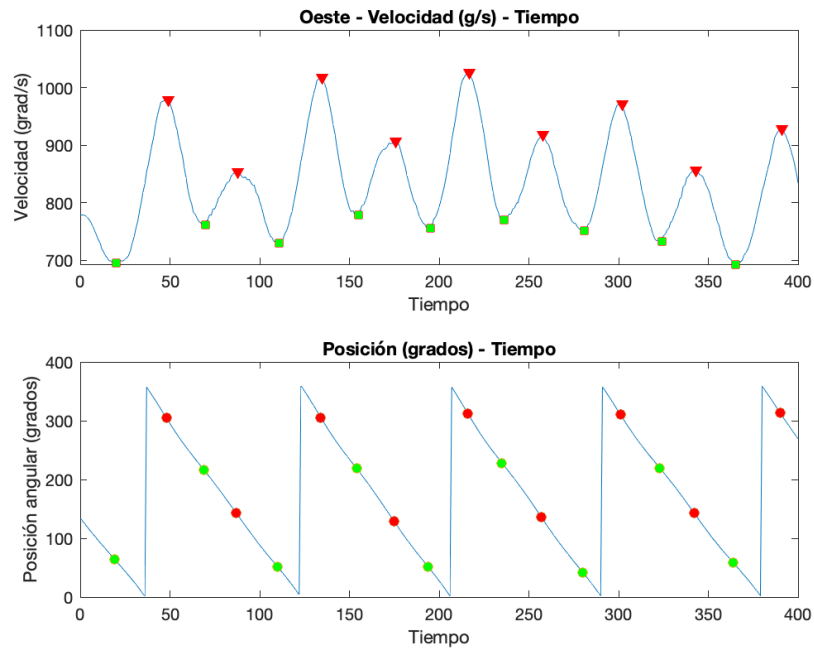


Ilustración 26. Diseño de rotor 2: máximos y mínimos locales dirección Oeste (v2)

6. APÉNDICE 2: DATOS EMPLEADOS EN EL ENSAYO 2

6.1. TABLAS UTILIZADAS EN LA CALIBRACIÓN DE LA VELOCIDAD

Tabla 1. Datos dirección Norte, velocidad de vehículo 20km/h

Muestra	Velocidad anemómetro comercial (km/h)	Velocidad anemómetro asimétrico (grad/s)
1	20,340	940,43
2	19,900	918,46
3	20,480	918,46
4	21,130	900,88
5	21,920	922,85
6	20,980	936,04
7	20,190	931,64
8	19,260	918,46
9	18,860	936,04
10	18,360	962,40
11	18,680	922,85
12	19,360	922,85

Diseño de una estación meteorológica de bajo
coste orientada al internet de las cosas

Apéndice 2: Datos empleados en el Ensayo 2

Muestra	Velocidad anemómetro comercial (km/h)	Velocidad anemómetro asimétrico (grad/s)
13	19,690	1001,95
14	20,160	975,59
15	20,590	962,40
16	20,800	958,01
17	21,130	971,19
18	21,600	971,19
19	21,380	971,19
20	21,060	975,59
21	20,300	975,59
22	20,050	1010,74
Promedio	20,271	951,32

Tabla 2. Datos dirección Norte, velocidad de vehículo 40 km/h

Muestra	Velocidad anemómetro comercial (km/h)	Velocidad anemómetro asimétrico (grad/s)
1	37,720	1823,730469
2	37,720	1819,335938
3	37,400	1828,125
4	36,030	1788,574219

Diseño de una estación meteorológica de bajo
coste orientada al internet de las cosas

Apéndice 2: Datos empleados en el Ensayo 2

Muestra	Velocidad anemómetro comercial (km/h)	Velocidad anemómetro asimétrico (grad/s)
5	36,320	1801,757813
6	36,030	1806,152344
7	36,070	1819,335938
8	36,320	1841,308594
9	36,140	1819,335938
10	36,680	1823,730469
11	37,580	1894,042969
12	38,410	1854,492188
13	38,410	1889,648438
14	38,160	1929,199219
15	37,650	1924,804688
16	36,930	1929,199219
17	36,500	1916,015625
18	36,250	1964,355469
19	35,490	1951,171875
20	35,170	1942,382813
21	35,560	1942,382813
Promedio	36,788	1871,861049

Diseño de una estación meteorológica de bajo
coste orientada al internet de las cosas

Apéndice 2: Datos empleados en el Ensayo 2

Tabla 3. Dirección Norte, velocidad de vehículo 60km/h

Muestra	Velocidad anemómetro comercial (km/h)	Velocidad anemómetro asimétrico (grad/s)
1	54,210	3322,265625
2	56,160	3357,421875
3	56,840	3304,6875
4	54,610	3388,183594
5	54,100	3304,6875
6	53,240	3313,476563
7	51,870	3269,53125
8	50,290	3243,164063
9	49,820	3238,769531
10	50,580	3194,824219
11	50,360	3234,375
12	50,400	3212,402344
13	50,970	3155,273438
Promedio	52,573	3272,235577

Diseño de una estación meteorológica de bajo
coste orientada al internet de las cosas

Apéndice 2: Datos empleados en el Ensayo 2

Tabla 4. Dirección Este, velocidad de vehículo 20 km/h

Muestra	Velocidad anemómetro comercial (km/h)	Velocidad anemómetro asimétrico (grad/s)
1	18,750	997,5585937
2	19,650	997,5585937
3	19,720	997,5585937
4	19,580	1050,292969
5	19,400	993,1640625
6	18,860	988,7695312
7	18,820	1019,53125
8	18,820	975,5859375
9	18,970	1006,347656
10	18,820	958,0078125
11	18,680	1001,953125
12	18,640	979,9804687
13	18,860	1028,320313
14	18,930	966,796875
15	18,750	979,9804687
16	18,680	997,5585937
17	18,250	979,9804687

Diseño de una estación meteorológica de bajo
coste orientada al internet de las cosas

Apéndice 2: Datos empleados en el Ensayo 2

Muestra	Velocidad anemómetro comercial (km/h)	Velocidad anemómetro asimétrico (grad/s)
18	18,140	962,4023437
Promedio	18,907	993,4082031

Tabla 5. Dirección Este, velocidad de vehículo 40km/h

Muestra	Velocidad anemómetro comercial (km/h)	Velocidad anemómetro asimétrico (grad/s)
1	30,560	2100,585938
2	30,450	2285,15625
3	28,330	2452,148438
4	28,260	2487,304688
5	28,000	2518,066406
6	27,610	2469,726563
7	29,050	2254,394531
8	29,410	2162,109375
9	30,490	1902,832031
10	31,930	1792,96875
11	33,150	1687,5
12	32,720	1582,03125
13	31,820	1595,214844

Diseño de una estación meteorológica de bajo
coste orientada al internet de las cosas

Apéndice 2: Datos empleados en el Ensayo 2

Muestra	Velocidad anemómetro comercial (km/h)	Velocidad anemómetro asimétrico (grad/s)
Promedio	30,137	2099,233774

Tabla 6. Dirección Este, velocidad de vehículo 60km/h

Muestra	Velocidad anemómetro comercial (km/h)	Velocidad anemómetro asimétrico (grad/s)
1	53,850	2992,675781
2	53,380	3247,558594
3	51,910	3458,496094
4	51,730	3594,726563
5	51,800	3651,855469
6	53,240	3471,679688
7	54,750	3177,246094
8	53,490	2961,914063
9	54,070	2852,050781
10	56,620	2786,132813
11	55,800	2900,390625
12	54,970	3049,804688
13	54,210	3317,871094
14	53,380	3678,222656

Diseño de una estación meteorológica de bajo
coste orientada al internet de las cosas

Apéndice 2: Datos empleados en el Ensayo 2

Muestra	Velocidad anemómetro comercial (km/h)	Velocidad anemómetro asimétrico (grad/s)
15	51,260	3854,003906
16	48,130	3884,765625
17	42,220	3744,140625
Promedio	52,636	3330,796186

Tabla 7. Dirección Oeste, velocidad de vehículo 20km/h

Muestra	Velocidad anemómetro comercial (km/h)	Velocidad anemómetro asimétrico (grad/s)
1	21,670	905,2734375
2	22,570	900,8789062
3	22,170	936,0351562
4	21,600	966,796875
5	19,830	979,9804687
6	17,560	953,6132812
7	17,560	1006,347656
8	17,380	1015,136719
9	17,560	1037,109375
10	17,780	1037,109375
11	19,400	1041,503906

Diseño de una estación meteorológica de bajo
coste orientada al internet de las cosas

Apéndice 2: Datos empleados en el Ensayo 2

Muestra	Velocidad anemómetro comercial (km/h)	Velocidad anemómetro asimétrico (grad/s)
12	19,580	1076,660156
13	20,840	1063,476563
14	23,250	1045,898438
15	21,920	1089,84375
16	21,240	1050,292969
17	21,850	1067,871094
Promedio	20,221	1010,225184

Tabla 8. Dirección Oeste, velocidad de vehículo 40km/h

Muestra	Velocidad anemómetro comercial (km/h)	Velocidad anemómetro asimétrico (grad/s)
1	31,710	1898,4375
2	32,790	1876,464844
3	32,500	1902,832031
4	35,560	1876,464844
5	34,840	1924,804688
6	35,710	1973,144531
7	34,230	2047,851563
8	32,500	2113,769531

Diseño de una estación meteorológica de bajo
coste orientada al internet de las cosas

Apéndice 2: Datos empleados en el Ensayo 2

Muestra	Velocidad anemómetro comercial (km/h)	Velocidad anemómetro asimétrico (grad/s)
9	34,300	2135,742188
10	36,500	2197,265625
11	38,910	2206,054688
12	35,350	2197,265625
13	34,300	2113,769531
14	35,710	2065,429688
15	34,410	2021,484375
16	35,380	1907,226563
17	30,600	1854,492188
Promedio	33,974	1819,335938

Tabla 9. Dirección Oeste, velocidad de vehículo 60km/h

Muestra	Velocidad anemómetro comercial (km/h)	Velocidad anemómetro asimétrico (grad/s)
1	53,780	3282,714844
2	54,970	3234,375
3	57,200	3287,109375
4	55,800	3445,3125
5	57,740	3691,40625

Diseño de una estación meteorológica de bajo
coste orientada al internet de las cosas

Apéndice 2: Datos empleados en el Ensayo 2

Muestra	Velocidad anemómetro comercial (km/h)	Velocidad anemómetro asimétrico (grad/s)
6	54,180	3875,976563
7	53,960	3805,664063
8	54,900	3717,773438
9	57,200	3467,285156
10	60,190	3291,503906
11	57,160	3137,695313
12	58,710	3159,667969
13	55,470	3199,21875
Promedio	56,251	3430,438702

Tabla 10. Dirección Sur, velocidad de vehículo 20 km/h

Muestra	Velocidad anemómetro comercial (km/h)	Velocidad anemómetro asimétrico (grad/s)
1	20,770	817,3828125
2	21,380	791,015625
3	20,620	852,5390625
4	18,680	874,5117187
5	16,630	949,21875
6	16,840	953,6132812

Diseño de una estación meteorológica de bajo
coste orientada al internet de las cosas

Apéndice 2: Datos empleados en el Ensayo 2

Muestra	Velocidad anemómetro comercial (km/h)	Velocidad anemómetro asimétrico (grad/s)
7	17,780	1010,742188
8	19,650	1019,53125
9	20,770	1063,476563
10	21,240	1107,421875
11	21,380	1160,15625
12	20,300	1133,789063
13	16,950	1116,210938
14	16,950	1204,101563
15	16,840	1107,421875
16	16,630	1168,945313
17	16,230	1125
Promedio	18,802	1026,769301

Tabla 11. Dirección Sur, velocidad de vehículo 40km/h

Muestra	Velocidad anemómetro comercial (km/h)	Velocidad anemómetro asimétrico (grad/s)
1	34,090	2474,121094
2	35,100	2197,265625
3	35,130	1933,59375

Diseño de una estación meteorológica de bajo
coste orientada al internet de las cosas

Apéndice 2: Datos empleados en el Ensayo 2

Muestra	Velocidad anemómetro comercial (km/h)	Velocidad anemómetro asimétrico (grad/s)
4	34,990	1819,335938
5	34,050	1713,867188
6	34,300	1582,03125
7	34,050	1520,507813
8	34,050	1524,902344
9	34,560	1551,269531
10	35,850	1617,1875
11	38,160	1705,078125
12	37,760	1814,941406
13	38,590	1942,382813
14	38,410	2131,347656
Promedio	35,649	1823,41657

Tabla 12. Dirección Sur, velocidad de vehículo 60km/h

Muestra	Velocidad anemómetro comercial (km/h)	Velocidad anemómetro asimétrico (grad/s)
1	47,190	3111,328125
2	47,800	3634,277344
3	45,030	3928,710938

Diseño de una estación meteorológica de bajo
coste orientada al internet de las cosas

Apéndice 2: Datos empleados en el Ensayo 2

Muestra	Velocidad anemómetro comercial (km/h)	Velocidad anemómetro asimétrico (grad/s)
4	47,370	4091,308594
5	44,420	3884,765625
6	42,980	3418,945313
7	45,100	3045,410156
8	45,210	2772,949219
9	45,210	2742,1875
10	44,130	2865,234375
11	42,800	3265,136719
12	44,240	3779,296875
Promedio	45,123	3378,295898

7. APÉNDICE 3: MATRICES DE LOS SISTEMAS DE CLASIFICACIÓN

7.1. MATRICES DEL SISTEMA DE CLASIFICACIÓN 1

Tabla 13. Matriz de generadores (M) del sistema de clasificación 1.

Norte	Este	Oeste	Sur
0.0650944554 904119	0	0	0.2365249583 95633
0.1301889109 80824	0	0	0.1182624791 97817
0.1301889109 80824	0	0	0
0	0	0	0
0	0	0	0
0.1952833664 71236	0	0	0
0.2603778219 61648	0	0	0
0.2603778219 61648	0	0	0

Diseño de una estación meteorológica de bajo
coste orientada al internet de las cosas

Apéndice 3: Matrices de los sistemas de
clasificación

Norte	Este	Oeste	Sur
0.4556611884 32884	0	0	0
0.0650944554 904119	0	0	0
0.1952833664 71236	0	0	0
0.3254722774 52060	0	0	0
0.1952833664 71236	0	0	0
0.0650944554 904119	0	0	0
0.1301889109 80824	0	0	0
0.1301889109 80824	0	0	0
0.1301889109 80824	0	0	0
0	0	0	0
0	0	0	0
0	0	0	0

Diseño de una estación meteorológica de bajo
coste orientada al internet de las cosas

Apéndice 3: Matrices de los sistemas de
clasificación

Norte	Este	Oeste	Sur
0	0	0	0
0	0	0.0413449115 297362	0
0	0	0.2894143807 08153	0
0	0	0.4547940268 27098	0
0	0	0.0826898230 594723	0
0	0	0.3307592922 37889	0
0	0	0.2067245576 48681	0
0	0	0.1653796461 18945	0
0	0	0	0
0	0	0	0
0	0	0	0
0	0	0	0
0	0.1598721533 95486	0	0

Diseño de una estación meteorológica de bajo
coste orientada al internet de las cosas

Apéndice 3: Matrices de los sistemas de
clasificación

Norte	Este	Oeste	Sur
0	0.1199041150 46615	0	0
0.0650944554 904119	0.1598721533 95486	0	0
0	0.3597123451 39844	0	0
0.0650944554 904119	0.5595525368 84202	0	0
0.0650944554 904119	0.0399680383 488716	0	0.0591312395 989083
0.0650944554 904119	0	0	0.0591312395 989083
0	0	0	0.3547874375 93450
0	0	0	0.2956561979 94541
0	0	0	0.1773937187 96725
0.0650944554 904119	0	0	0.2956561979 94541
0.0650944554 904119	0	0	0.0591312395 989083

Diseño de una estación meteorológica de bajo
coste orientada al internet de las cosas

Apéndice 3: Matrices de los sistemas de
clasificación

Norte	Este	Oeste	Sur
0	0	0	0.1182624791 97817
0	0	0	0
0	0	0	0
0	0	0	0
0	0	0	0
0	0	0	0
0	0	0	0
0	0	0	0
0	0	0	0
0	0	0	0
0	0	0	0
0	0	0	0
0	0	0	0
0	0	0	0
0	0	0	0
0.0650944554 904119	0	0	0
0	0	0	0

Diseño de una estación meteorológica de bajo
coste orientada al internet de las cosas

Apéndice 3: Matrices de los sistemas de
clasificación

Norte	Este	Oeste	Sur
0	0	0	0
0	0	0	0
0	0	0	0
0.0650944554 904119	0	0	0
0.1301889109 80824	0	0	0
0.1301889109 80824	0	0	0
0.1301889109 80824	0	0	0
0.0650944554 904119	0	0	0
0.1952833664 71236	0	0	0
0.0650944554 904119	0	0	0
0.1301889109 80824	0	0	0
0.1301889109 80824	0	0	0

Diseño de una estación meteorológica de bajo
coste orientada al internet de las cosas

Apéndice 3: Matrices de los sistemas de
clasificación

Norte	Este	Oeste	Sur
0.1301889109 80824	0	0	0
0.1301889109 80824	0	0	0
0.0650944554 904119	0	0	0
0.0650944554 904119	0	0	0
0.2603778219 61648	0	0	0
0.1301889109 80824	0	0	0
0	0	0.1240347345 89208	0
0.0650944554 904119	0	0.4134491152 97362	0
0.1301889109 80824	0	0.4547940268 27098	0
0	0	0.2067245576 48681	0
0	0	0.2894143807 08153	0

Diseño de una estación meteorológica de bajo
coste orientada al internet de las cosas

Apéndice 3: Matrices de los sistemas de
clasificación

Norte	Este	Oeste	Sur
0.1301889109 80824	0	0.0413449115 297362	0
0	0	0	0
0.0650944554 904119	0	0	0
0	0	0	0
0	0	0	0
0	0	0	0
0	0	0	0
0	0	0	0
0	0	0	0
0	0	0	0
0	0	0	0
0	0.2797762684 42101	0	0
0	0.2797762684 42101	0	0
0	0.3197443067 90973	0	0

Diseño de una estación meteorológica de bajo
coste orientada al internet de las cosas

Apéndice 3: Matrices de los sistemas de
clasificación

Norte	Este	Oeste	Sur
0.0650944554 904119	0.4796164601 86459	0	0
0	0.0399680383 488716	0	0
0	0	0	0
0	0	0	0.5913123959 89083
0	0	0	0.4730499167 91266

Tabla 14. Matriz métrica (G) del sistema de clasificación 1.

Norte	Este	Oeste	Sur
1	0.0806526284 935307	0.091505033 1131326	0.0615858535 066243
0.080652628 4935307	1	0	0.0023633596 5190548
0.091505033 1131326	0	1	0
0.061585853 5066243	0.0023633596 5190548	0	1

Diseño de una estación meteorológica de bajo
coste orientada al internet de las cosas

Apéndice 3: Matrices de los sistemas de
clasificación

La matriz de proyección D viene definida como [4][120], sin embargo, para representarla de una mejor manera en el espacio disponible se ha considerado transponerla, obteniendo D[120][4].

Tabla 15. Matriz de proyección (D) transpuesta del sistema de clasificación 1

Norte	Este	Oeste	Sur
0.051533840 1130995	- 0.004707858774666 68	- 0.004715605745996 05	0.2333623292 31269
0.125263965 938667	- 0.010364190658732 8	- 0.011462283351100 1	0.1105724852 51887
0.132662727 842823	- 0.010680348361866 0	- 0.012139307304136 1	- 0.008144905818330 56
0	0	0	0
0	0	0	0
0.198994091 764235	- 0.016020522542799 0	- 0.018208960956204 1	- 0.012217358727495 8
0.265325455 685647	- 0.021360696723732 0	- 0.024278614608272 1	- 0.016289811636661 1

Diseño de una estación meteorológica de bajo
coste orientada al internet de las cosas

Apéndice 3: Matrices de los sistemas de
clasificación

Norte	Este	Oeste	Sur
0.265325455 685647	- 0.021360696723732 0	- 0.024278614608272 1	- 0.016289811636661 1
0.464319547 449882	- 0.037381219266531 0	- 0.042487575564476 2	- 0.028507170364157 0
0.066331363 9214117	- 0.005340174180933 00	- 0.006069653652068 03	- 0.004072452909165 28
0.198994091 764235	- 0.016020522542799 0	- 0.018208960956204 1	- 0.012217358727495 8
0.331656819 607059	- 0.026700870904665 0	- 0.030348268260340 1	- 0.020362264545826 4
0.198994091 764235	- 0.016020522542799 0	- 0.018208960956204 1	- 0.012217358727495 8
0.066331363 9214117	- 0.005340174180933 00	- 0.006069653652068 03	- 0.004072452909165 28

Diseño de una estación meteorológica de bajo
coste orientada al internet de las cosas

Apéndice 3: Matrices de los sistemas de
clasificación

Norte	Este	Oeste	Sur
0.132662727 842823	- 0.010680348361866 0	- 0.012139307304136 1	- 0.008144905818330 56
0.132662727 842823	- 0.010680348361866 0	- 0.012139307304136 1	- 0.008144905818330 56
0.132662727 842823	- 0.010680348361866 0	- 0.012139307304136 1	- 0.008144905818330 56
0	0	0	0
0	0	0	0
0	0	0	0
0	0	0	0
0	0	0	0
0	0	0	0
0	0	0	0
0	0	0	0
0	0	0	0
0	0	0	0
0	0	0	0
0	0	0	0

Diseño de una estación meteorológica de bajo
coste orientada al internet de las cosas

Apéndice 3: Matrices de los sistemas de
clasificación

Norte	Este	Oeste	Sur
- 0.0077103123874 4615	0.0006207381 95390502	0.0833953554 497982	0.0004733791 41578187
- 0.0308412495497 846	0.0024829527 8156201	0.3335814217 99193	0.0018935165 6631275
- 0.0192757809686 154	0.0015518454 8847626	0.2084883886 24495	0.0011834478 5394547
- 0.0154206247748 923	0.0012414763 9078100	0.1667907108 99596	0.0009467582 83156373
0	0	0	0
0	0	0	0
0	0	0	0
0	0	0	0
- 0.0131154817930 459	0.1609289413 87546	0.0012001325 9576735	0.0004273951 73476135
- 0.0098366113447 8443	0.1206967060 40660	0.0009000994 46825515	0.0003205463 80107102

Diseño de una estación meteorológica de bajo
coste orientada al internet de las cosas

Apéndice 3: Matrices de los sistemas de
clasificación

Norte	Este	Oeste	Sur
0.053215882 1283658	0.1555887672 06613	- 0.004869521056300 67	- 0.003645057735689 15
- 0.0295098340343 533	0.3620901181 21979	0.0027002983 4047655	0.0009616391 40321305
0.020427177 6457510	0.5579111206 75478	- 0.001869189566882 29	- 0.002576569801998 81
0.059353112 5210722	0.0350501400 175201	- 0.005431108526608 19	0.0553930914 193123
0.062631982 9693336	- 0.005182095329366 42	- 0.005731141675550 03	0.0552862426 259433
- 0.0221962857124 684	0.0009484731 09399470	0.0020310718 5910797	0.3561521732 10651
- 0.0184969047603 903	0.0007903942 57832892	0.0016925598 8258998	0.2967934776 75543

Diseño de una estación meteorológica de bajo
coste orientada al internet de las cosas

Apéndice 3: Matrices de los sistemas de
clasificación

Norte	Este	Oeste	Sur
- 0.0110981428562 342	0.0004742365 54699735	0.0010155359 2955399	0.1780760866 05326
0.047834459 1610214	- 0.004549779923100 10	- 0.004377093769478 05	0.2927210247 66377
0.062631982 9693336	- 0.005182095329366 42	- 0.005731141675550 03	0.0552862426 259433
- 0.0073987619041 5613	0.0003161577 03133157	0.0006770239 53035990	0.1187173910 70217
0	0	0	0
0	0	0	0
0	0	0	0
0	0	0	0
0	0	0	0
0	0	0	0
0	0	0	0
0	0	0	0
0	0	0	0
0	0	0	0

Diseño de una estación meteorológica de bajo
coste orientada al internet de las cosas

Apéndice 3: Matrices de los sistemas de
clasificación

Norte	Este	Oeste	Sur
0	0	0	0
0	0	0	0
0	0	0	0
0	0	0	0
0.066331363 9214117	- 0.005340174180933 00	- 0.006069653652068 03	- 0.004072452909165 28
0	0	0	0
0	0	0	0
0	0	0	0
0	0	0	0
0.066331363 9214117	- 0.005340174180933 00	- 0.006069653652068 03	- 0.004072452909165 28
0.132662727 842823	- 0.010680348361866 0	- 0.012139307304136 1	- 0.008144905818330 56
0.132662727 842823	- 0.010680348361866 0	- 0.012139307304136 1	- 0.008144905818330 56

Diseño de una estación meteorológica de bajo
coste orientada al internet de las cosas

Apéndice 3: Matrices de los sistemas de
clasificación

Norte	Este	Oeste	Sur
0.132662727 842823	- 0.010680348361866 0	- 0.012139307304136 1	- 0.008144905818330 56
0.066331363 9214117	- 0.005340174180933 00	- 0.006069653652068 03	- 0.004072452909165 28
0.198994091 764235	- 0.016020522542799 0	- 0.018208960956204 1	- 0.012217358727495 8
0.066331363 9214117	- 0.005340174180933 00	- 0.006069653652068 03	- 0.004072452909165 28
0.132662727 842823	- 0.010680348361866 0	- 0.012139307304136 1	- 0.008144905818330 56
0.132662727 842823	- 0.010680348361866 0	- 0.012139307304136 1	- 0.008144905818330 56
0.132662727 842823	- 0.010680348361866 0	- 0.012139307304136 1	- 0.008144905818330 56

Diseño de una estación meteorológica de bajo
coste orientada al internet de las cosas

Apéndice 3: Matrices de los sistemas de
clasificación

Norte	Este	Oeste	Sur
0.132662727 842823	- 0.010680348361866 0	- 0.012139307304136 1	- 0.008144905818330 56
0.066331363 9214117	- 0.005340174180933 00	- 0.006069653652068 03	- 0.004072452909165 28
0.066331363 9214117	- 0.005340174180933 00	- 0.006069653652068 03	- 0.004072452909165 28
0.265325455 685647	- 0.021360696723732 0	- 0.024278614608272 1	- 0.016289811636661 1
0.132662727 842823	- 0.010680348361866 0	- 0.012139307304136 1	- 0.008144905818330 56
- 0.0115654685811 692	- 0.0009311072 93085753	- 0.1250930331 74697	- 0.0007100687 12367280
0.027779801 9841810	- 0.002236483203980 49	- 0.4109071235 96923	- 0.001705557201274 35

Diseño de una estación meteorológica de bajo
coste orientada al internet de las cosas

Apéndice 3: Matrices de los sistemas de
clasificación

Norte	Este	Oeste	Sur
0.090256009 7118696	- 0.007266288287218 23	0.4465351476 69754	- 0.005541320539650 54
- 0.0192757809686 154	0.0015518454 8847626	0.2084883886 24495	0.0011834478 5394547
- 0.0269860933560 615	0.0021725836 8386676	0.2918837440 74294	0.0016568269 9552365
0.128807571 649100	- 0.010369979264170 7	0.0295583704 207630	- 0.007908216247541 47
0	0	0	0
0.066331363 9214117	- 0.005340174180933 00	- 0.006069653652068 03	- 0.004072452909165 28
0	0	0	0
0	0	0	0
0	0	0	0
0	0	0	0
0	0	0	0

Diseño de una estación meteorológica de bajo
coste orientada al internet de las cosas

Apéndice 3: Matrices de los sistemas de
clasificación

Norte	Este	Oeste	Sur
0	0	0	0
0	0	0	0
0	0	0	0
- 0.0229520931378 303	0.2816256474 28206	0.0021002320 4259287	0.0007479415 53583237
- 0.0229520931378 303	0.2816256474 28206	0.0021002320 4259287	0.0007479415 53583237
- 0.0262309635860 918	0.3218578827 75092	0.0024002651 9153471	0.0008547903 46952271
0.026984918 5422740	0.4774466499 81705	- 0.002469255864765 97	- 0.002790267388736 88
- 0.0032788704482 6148	0.0402322353 468865	0.0003000331 48941838	0.0001068487 93369034
0	0	0	0
- 0.0369938095207 806	0.0015807885 1566578	0.0033851197 6517995	0.5935869553 51085

Norte	Este	Oeste	Sur
-			
0.0295950476166	0.0012646308	0.0027080958	0.4748695642
245	1253263	1214396	80868

7.2. MATRICES DEL SISTEMA DE CLASIFICACIÓN 2

Tabla 16. Matriz de generadores (M) del sistema de clasificación 2.

Norte	Este	Oeste	Sur
0.0344827586			
206897	0	0	0
0	0	0	0
0	0	0	0
0	0	0	0
0	0	0	0
0	0	0	0
0	0	0	0
0	0	0	0
0	0	0	0
0	0	0	0
0	0	0	0
0	0	0	0
0	0	0	0

Diseño de una estación meteorológica de bajo
coste orientada al internet de las cosas

Apéndice 3: Matrices de los sistemas de
clasificación

Norte	Este	Oeste	Sur
0	0	0	0
0	0.0604122093 330177	0	0
0	0.0604122093 330177	0	0
0	0.6041220933 30177	0	0
0	0.3624732559 98106	0	0
0	0.1812366279 99053	0	0
0	0	0	0
0	0	0	0
0	0	0	0
0	0	0	0
0	0	0	0
0	0	0	0
0	0	0	0
0	0	0	0
0	0	0	0

Diseño de una estación meteorológica de bajo
coste orientada al internet de las cosas

Apéndice 3: Matrices de los sistemas de
clasificación

Norte	Este	Oeste	Sur
0	0	0	0
0	0	0	0
0	0	0	0
0	0	0	0
0	0	0	0
0	0	0	0
0	0	0	0
0	0	0	0
0	0	0	0.1195228609 33439
0	0	0	0.4780914437 33757
0	0	0	0.2988071523 33598
0	0	0	0.2390457218 66879
0	0	0	0.1792842914 00159
0.0689655172 413793	0	0	0.1195228609 33439

Diseño de una estación meteorológica de bajo
coste orientada al internet de las cosas

Apéndice 3: Matrices de los sistemas de
clasificación

Norte	Este	Oeste	Sur
0.2413793103 44828	0	0	0
0.3103448275 86207	0	0	0
0.4137931034 48276	0	0	0
0.3103448275 86207	0	0	0
0.1034482758 62069	0	0.2110792634 19088	0
0	0	0.2814390178 92117	0
0.0344827586 206897	0	0.2814390178 92117	0
0	0	0.2814390178 92117	0
0	0.0604122093 330177	0.3517987723 65146	0
0	0	0.2814390178 92117	0
0	0	0.1407195089 46058	0

Diseño de una estación meteorológica de bajo
coste orientada al internet de las cosas

Apéndice 3: Matrices de los sistemas de
clasificación

Norte	Este	Oeste	Sur
0	0	0	0
0	0	0	0
0	0	0	0
0	0	0.0703597544 730292	0
0	0	0	0
0	0	0	0
0	0	0	0
0	0	0	0
0	0	0	0
0	0	0	0
0	0	0	0
0	0	0	0
0	0	0	0
0	0	0	0
0	0	0	0
0	0	0	0
0	0	0	0
0	0	0	0
0	0	0	0
0	0	0	0

Diseño de una estación meteorológica de bajo
coste orientada al internet de las cosas

Apéndice 3: Matrices de los sistemas de
clasificación

Norte	Este	Oeste	Sur
0	0	0	0
0	0	0	0
0	0	0	0
0	0	0	0
0	0	0	0
0	0	0	0
0	0.2416488373 32071	0	0
0	0.4832976746 64142	0	0
0	0.3624732559 98106	0	0
0	0.1812366279 99053	0	0
0	0.0604122093 330177	0	0
0	0	0	0
0	0	0.0703597544 730292	0

Diseño de una estación meteorológica de bajo
coste orientada al internet de las cosas

Apéndice 3: Matrices de los sistemas de
clasificación

Norte	Este	Oeste	Sur
0	0	0.0703597544 730292	0
0	0	0.0703597544 730292	0
0	0	0	0
0	0	0	0
0	0	0	0
0	0	0	0
0	0	0	0
0	0	0	0
0	0	0	0
0	0	0	0
0	0	0.0703597544 730292	0
0	0	0.0703597544 730292	0
0	0	0.0703597544 730292	0
0	0	0.2814390178 92117	0.0597614304 667197

Diseño de una estación meteorológica de bajo
coste orientada al internet de las cosas

Apéndice 3: Matrices de los sistemas de
clasificación

Norte	Este	Oeste	Sur
0	0	0.2110792634 19088	0.2988071523 33598
0	0	0.0703597544 730292	0.4780914437 33757
0	0	0.3517987723 65146	0.1195228609 33439
0.1724137931 03448	0	0.3517987723 65146	0.4780914437 33757
0.4827586206 89655	0	0.2814390178 92117	0
0.3103448275 86207	0	0.0703597544 730292	0
0.4482758620 68966	0	0	0
0	0	0	0

Tabla 17. Matriz métrica (G) del sistema de clasificación 2.

Norte	Este	Oeste	Sur
1	0	0.2498984383 00759	0.0906725151 908850
0	1	0.0212529410 792218	0

Diseño de una estación meteorológica de bajo
coste orientada al internet de las cosas

Apéndice 3: Matrices de los sistemas de
clasificación

Norte	Este	Oeste	Sur
0.2498984383 00759	0.0212529410 792218	1	0.3237695672 43846
0.0906725151 908850	0	0.3237695672 43846	1

Igual como en el sistema anterior, se procede a coloca la matriz de proyección (D) transpuesta.

Tabla 18. Matriz de proyección (D) transpuesta del sistema de clasificación 2.

Norte	Este	Oeste	Sur
0.0367848712 717597	0.0001927039 27959904	- 0.00906716520982 140	- 0.00039970464307 1054
0	0	0	0
0	0	0	0
0	0	0	0
0	0	0	0
0	0	0	0
0	0	0	0
0	0	0	0
0	0	0	0
0	0	0	0

Diseño de una estación meteorológica de bajo
coste orientada al internet de las cosas

Apéndice 3: Matrices de los sistemas de
clasificación

Norte	Este	Oeste	Sur
0	0	0	0
0	0	0	0
0	0	0	0
0	0	0	0
0	0	0	0
0	0	0	0
0	0	0	0
0	0	0	0
0	0	0	0
0	0	0	0
0	0	0	0
0	0	0	0
0	0	0	0
0	0	0	0
0	0	0	0
0	0	0	0
0	0	0	0
0	0	0	0
0	0	0	0
0	0	0	0
0	0	0	0

Diseño de una estación meteorológica de bajo
coste orientada al internet de las cosas

Apéndice 3: Matrices de los sistemas de
clasificación

Norte	Este	Oeste	Sur
0	0	0	0
0	0	0	0
0	0	0	0
0.0003376084 31021046	0.0604444762 007150	0.00151823070402 633	0.0004609450 92428599
0.0003376084 31021046	0.0604444762 007150	0.00151823070402 633	0.0004609450 92428599
0.0033760843 1021046	0.6044447620 07150	0.01518230704026 33	0.0046094509 2428599
0.0020256505 8612628	0.3626668572 04290	0.00910938422415 801	0.0027656705 5457160
0.0010128252 9306314	0.1813334286 02145	0.00455469211207 900	0.0013828352 7728580
0	0	0	0
0	0	0	0
0	0	0	0

Diseño de una estación meteorológica de bajo
coste orientada al internet de las cosas

Apéndice 3: Matrices de los sistemas de
clasificación

Norte	Este	Oeste	Sur
0	0	0	0
0	0	0	0
0	0	0	0
0	0	0	0
0	0	0	0
0	0	0	0
0	0	0	0
0	0	0	0
0	0	0	0
0	0	0	0
0	0	0	0
0	0	0	0
0	0	0	0
0	0	0	0
0	0	0	0
0	0	0	0
- 0.00138544143157 872	0.0009119593 00753201	0.04290979292483 84	0.1335413674 78488
- 0.00554176572631 488	0.0036478372 0301280	- 0.17163917169935 4	0.5341654699 13953

Diseño de una estación meteorológica de bajo
coste orientada al internet de las cosas

Apéndice 3: Matrices de los sistemas de
clasificación

Norte	Este	Oeste	Sur
- 0.00346360357894 680	0.0022798982 5188300	- 0.10727448231209 6	0.3338534186 96221
- 0.00277088286315 744	0.0018239186 0150640	- 0.08581958584967 68	0.2670827349 56977
- 0.00207816214736 808	0.0013679389 5112980	- 0.06436468938725 76	0.2003120512 17732
0.0721843011 119407	0.0012973671 5667301	- 0.06104412334448 12	0.1327419581 92346
0.2574940989 02318	0.0013489274 9571933	- 0.06347015646874 98	- 0.00279793250149 738
0.3310638414 45838	0.0017343353 5163914	- 0.08160448688839 26	- 0.00359734178763 949
0.4414184552 61117	0.0023124471 3551885	- 0.10880598251785 7	- 0.00479645571685 265

Diseño de una estación meteorológica de bajo
coste orientada al internet de las cosas

Apéndice 3: Matrices de los sistemas de
clasificación

Norte	Este	Oeste	Sur
0.3310638414 45838	0.0017343353 5163914	- 0.08160448688839 26	- 0.00359734178763 949
0.0548517877 554191	- 0.00472656126556 252	0.222395632 112465	- 0.07697848712447 49
- 0.07400376807981 34	- 0.00707289739925 631	0.332796170 322572	- 0.10103916426034 9
- 0.03721889680805 36	- 0.00688019347129 640	0.323729005 112751	- 0.10143886890342 0
- 0.07400376807981 34	- 0.00707289739925 631	0.332796170 322572	- 0.10103916426034 9
- 0.09216710166874 57	0.0516033544 516447	0.414476982 199189	- 0.12583801023300 8
- 0.07400376807981 34	- 0.00707289739925 631	0.332796170 322572	- 0.10103916426034 9

Diseño de una estación meteorológica de bajo
coste orientada al internet de las cosas

Apéndice 3: Matrices de los sistemas de
clasificación

Norte	Este	Oeste	Sur
- 0.03700188403990 67	- 0.00353644869962 815	0.166398085 161286	- 0.05051958213017 45
0	0	0	0
0	0	0	0
0	0	0	0
- 0.01850094201995 33	- 0.00176822434981 408	0.083199042 5806431	- 0.02525979106508 72
0	0	0	0
0	0	0	0
0	0	0	0
0	0	0	0
0	0	0	0
0	0	0	0
0	0	0	0
0	0	0	0
0	0	0	0
0	0	0	0
0	0	0	0

Diseño de una estación meteorológica de bajo
coste orientada al internet de las cosas

Apéndice 3: Matrices de los sistemas de
clasificación

Norte	Este	Oeste	Sur
0	0	0	0
0	0	0	0
0	0	0	0
0	0	0	0
0	0	0	0
0	0	0	0
0	0	0	0
0	0	0	0
0	0	0	0
0	0	0	0
0.0013504337 2408419	0.2417779048 02860	- 0.00607292281610 534	0.0018437803 6971440
0.0027008674 4816837	0.4835558096 05720	- 0.01214584563221 07	0.0036875607 3942879
0.0020256505 8612628	0.3626668572 04290	- 0.00910938422415 801	0.0027656705 5457160
0.0010128252 9306314	0.1813334286 02145	- 0.00455469211207 900	0.0013828352 7728580

Diseño de una estación meteorológica de bajo
coste orientada al internet de las cosas

Apéndice 3: Matrices de los sistemas de
clasificación

Norte	Este	Oeste	Sur
0.0003376084 31021046	0.0604444762 007150	- 0.00151823070402 633	0.0004609450 92428599
0	0	0	0
- 0.01850094201995 33	- 0.00176822434981 408	- 0.083199042 5806431	- 0.02525979106508 72
- 0.01850094201995 33	- 0.00176822434981 408	- 0.083199042 5806431	- 0.02525979106508 72
- 0.01850094201995 33	- 0.00176822434981 408	- 0.083199042 5806431	- 0.02525979106508 72
0	0	0	0
0	0	0	0
0	0	0	0
0	0	0	0
0	0	0	0
0	0	0	0
0	0	0	0
0	0	0	0
0	0	0	0

Diseño de una estación meteorológica de bajo
coste orientada al internet de las cosas

Apéndice 3: Matrices de los sistemas de
clasificación

Norte	Este	Oeste	Sur
- 0.01850094201995 33	- 0.00176822434981 408	0.083199042 5806431	- 0.02525979106508 72
- 0.01850094201995 33	- 0.00176822434981 408	0.083199042 5806431	- 0.02525979106508 72
- 0.01850094201995 33	- 0.00176822434981 408	0.083199042 5806431	- 0.02525979106508 72
- 0.07469648879560 27	- 0.00661691774887 971	0.311341273 860153	- 0.03426848052110 48
- 0.05896642963880 68	- 0.00302477479755 923	0.142322645 429833	- 0.2580740455 00959
- 0.02404270774626 82	- 0.0018796128 5319873	0.08844012911871 05	- 0.5089056788 48866
- 0.09389015153134 54	- 0.00792916244831 718	0.373085419 978377	- 0.0072424121 5305205

Diseño de una estación meteorológica de bajo
coste orientada al internet de las cosas

Apéndice 3: Matrices de los sistemas de
clasificación

Norte	Este	Oeste	Sur
0.0858778805 327171	- 0.00422976490625 806	0.199020215 154755	0.4058679913 73162
0.4409844297 24823	- 0.00437504240781 765	0.205855857 385073	- 0.10663502926334 4
0.3125628994 25884	- -3,39E+09	0.001594555 69225052	- 0.02885713285272 67
0.4782033265 32876	0.0025051510 6347876	- 0.11787314772767 8	- 0.00519616035992 370
0	0	0	0

8. APÉNDICE 4: GRÁFICAS DE VALIDACIÓN DE LOS SISTEMAS DE CLASIFICACIÓN

8.1. GRÁFICAS DEL SISTEMA DE CLASIFICACIÓN 1

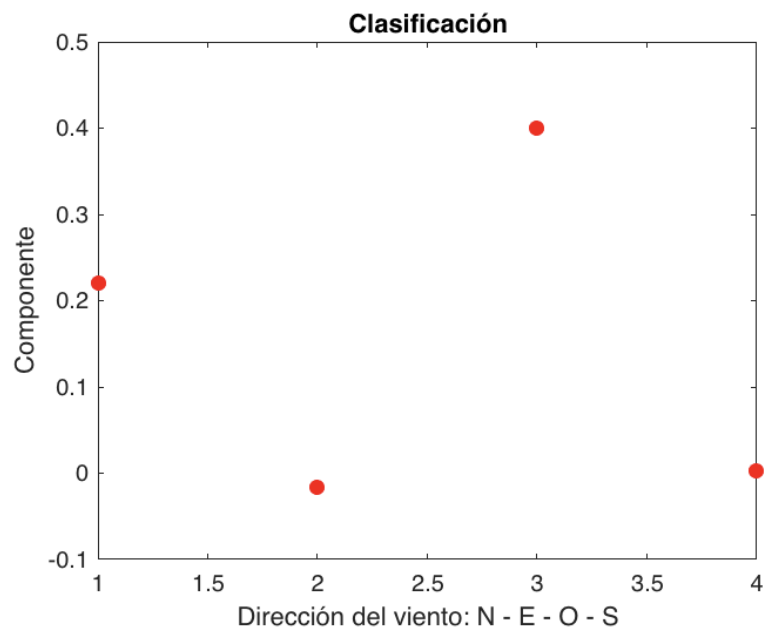


Ilustración 27. Clasificación de dirección Oeste, velocidad 60km/h.

Apéndice 4: Gráficas de validación de los
sistemas de clasificación

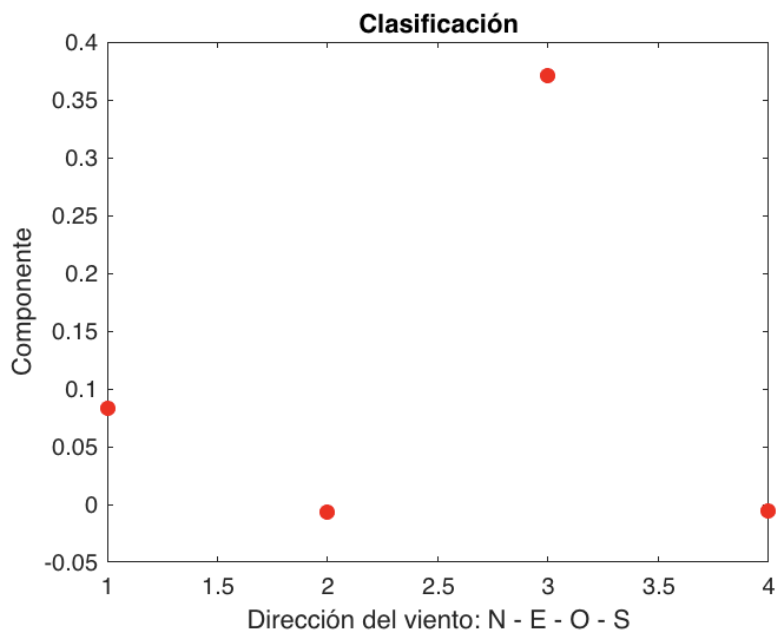


Ilustración 28. Clasificación de dirección Oeste, velocidad 20km/h.

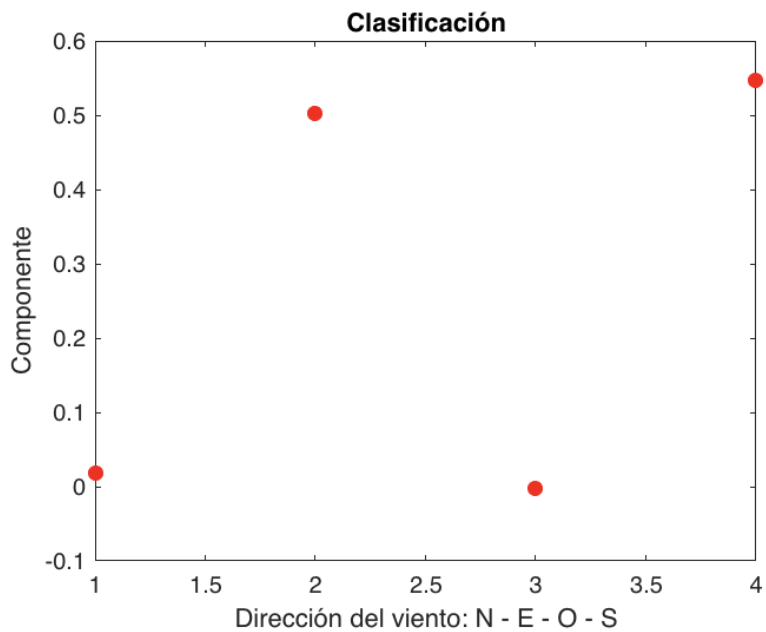


Ilustración 29. Clasificación de dirección Sur, velocidad 60km/h.

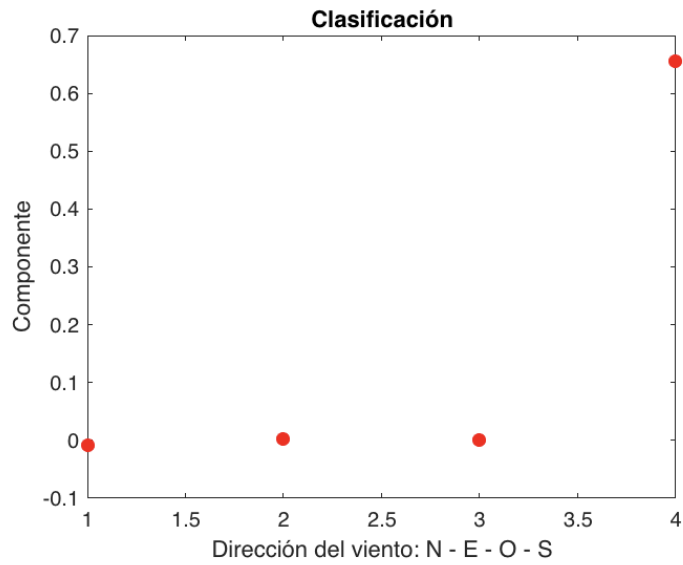


Ilustración 30. Clasificación de dirección Sur, velocidad 20km/h.

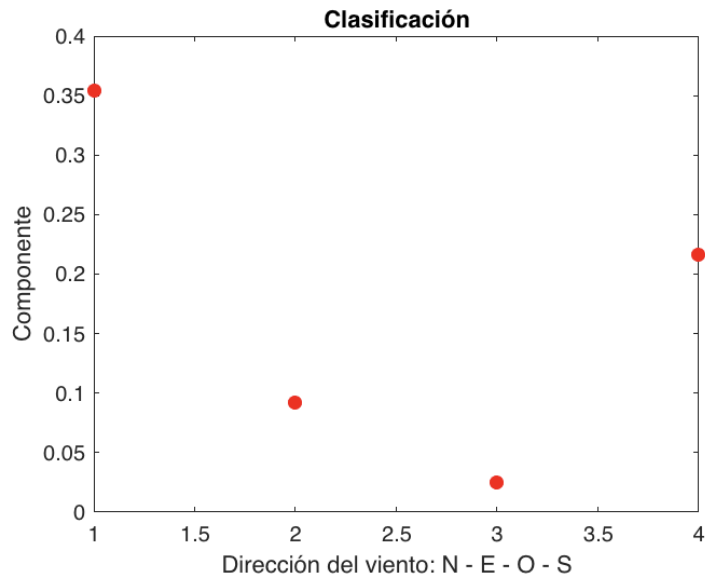


Ilustración 31. Clasificación de la dirección Norte, velocidad 60km/h.

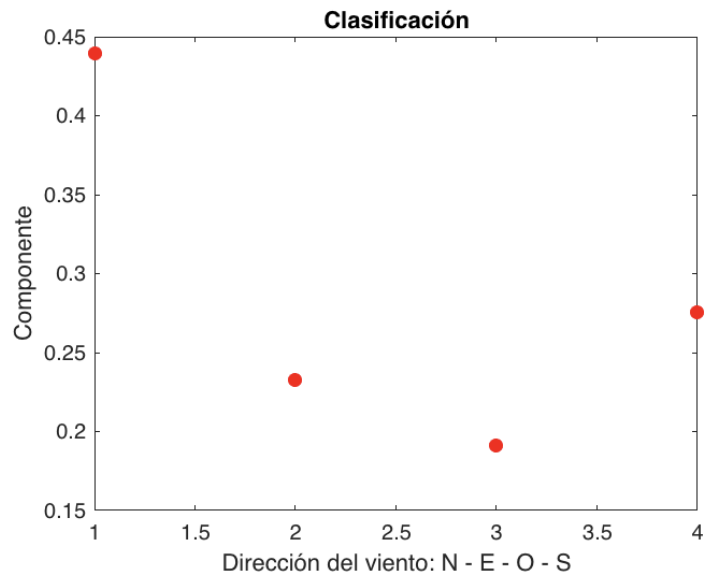


Ilustración 32. Clasificación de la dirección Norte, velocidad 20km/h.

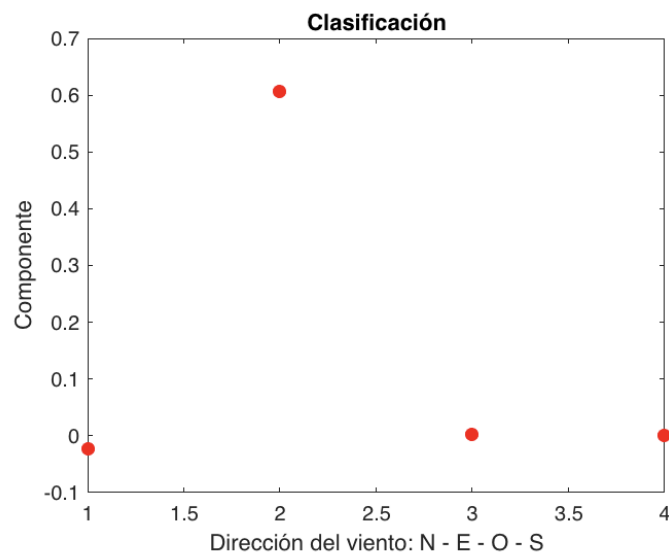


Ilustración 33. Clasificación de dirección Este, velocidad 60km/h.

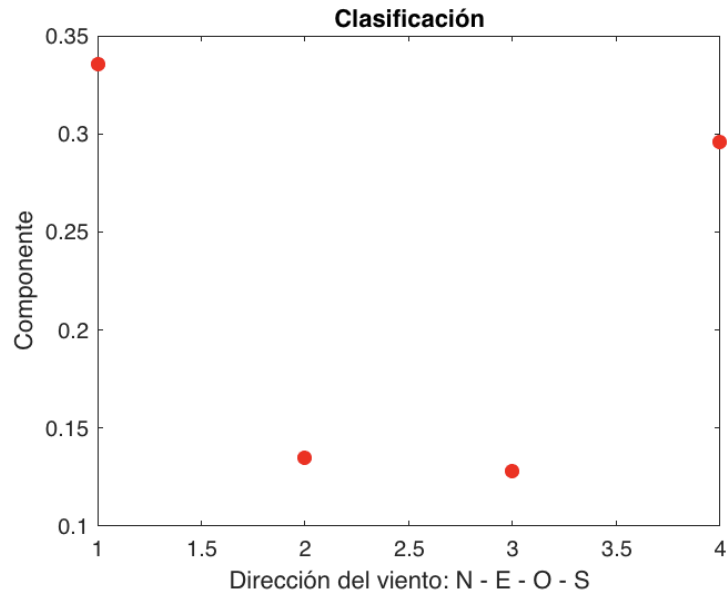


Ilustración 34. Clasificación de dirección Este, velocidad 20km/h.

8.2. GRÁFICAS DEL SISTEMA DE CLASIFICACIÓN 2

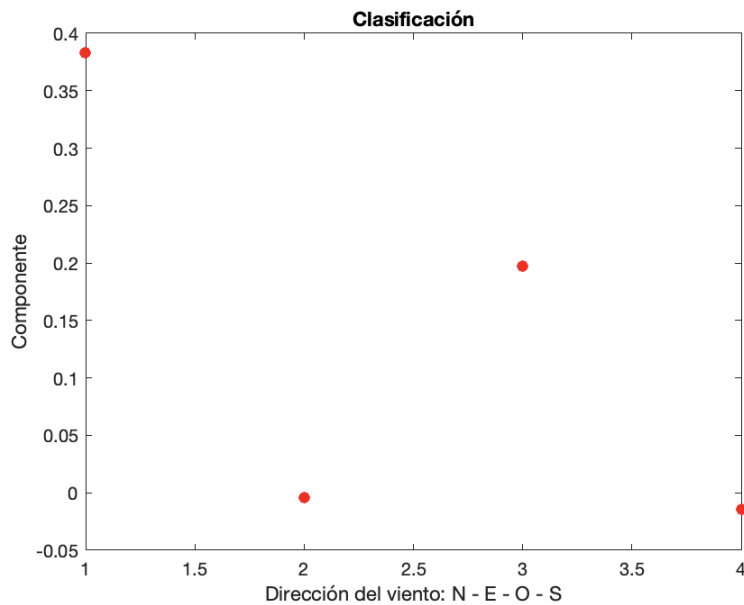


Ilustración 35. Clasificación de dirección Oeste, velocidad 60km/h.

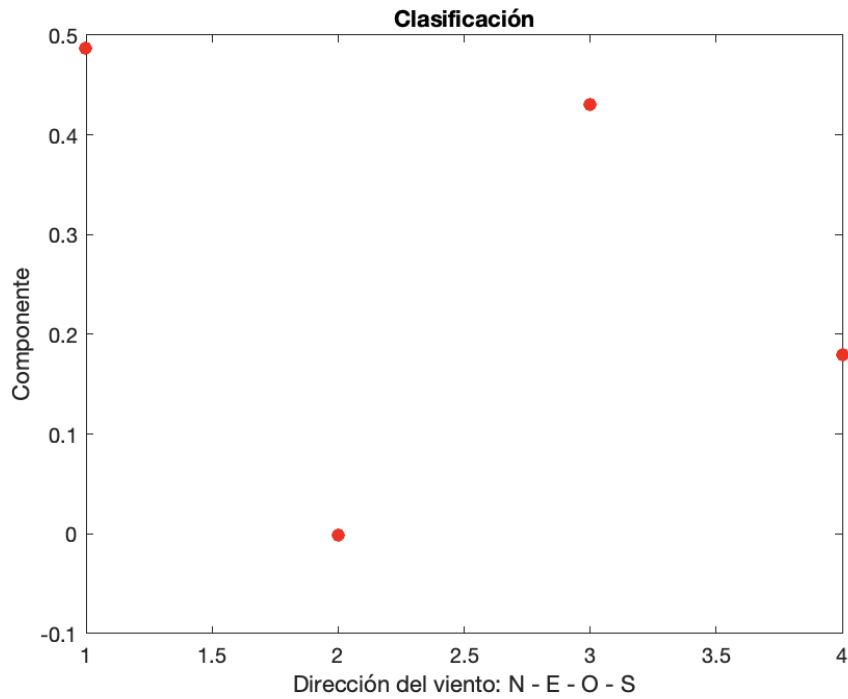


Ilustración 36. Clasificación de dirección Oeste, velocidad 40km/h.

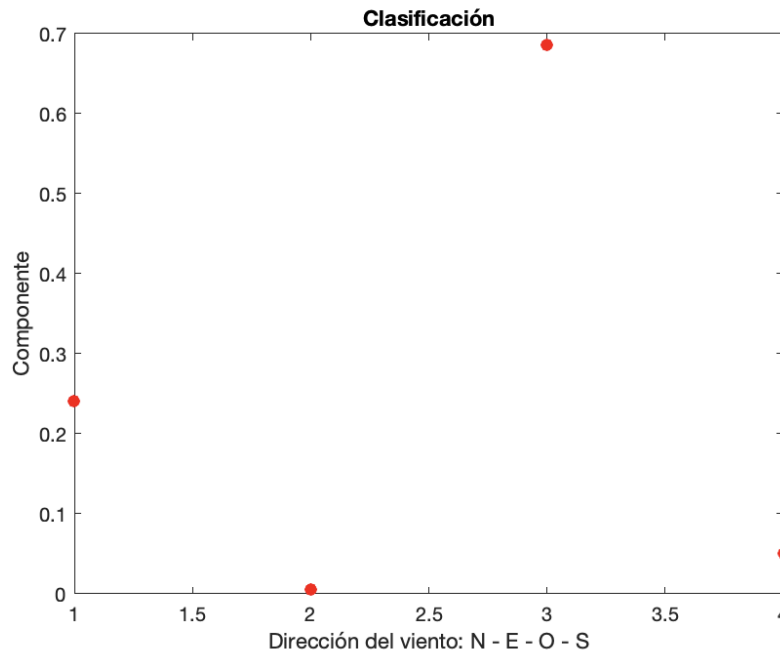


Ilustración 37. Clasificación dirección Oeste, velocidad 20km/h (v1).

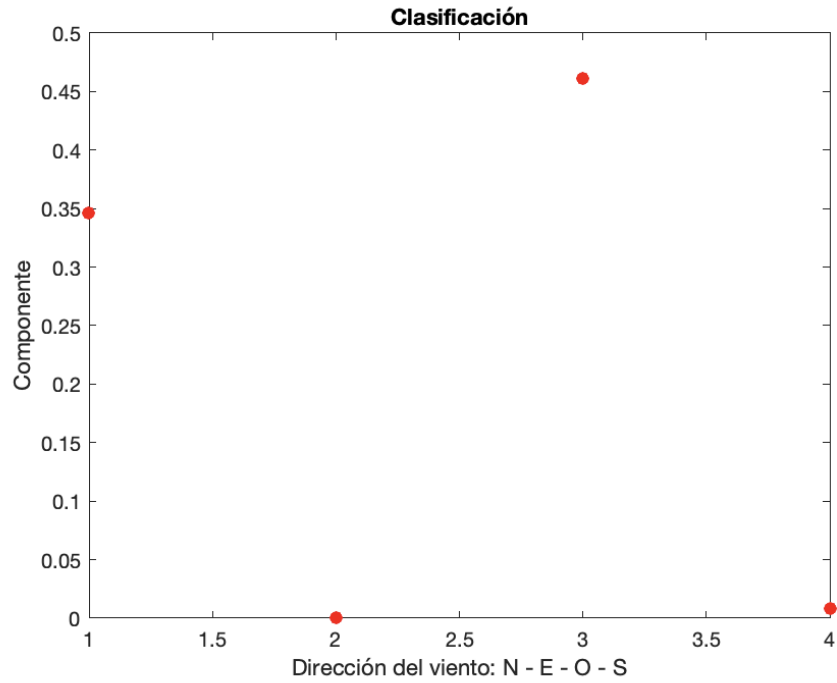


Ilustración 38. Clasificación dirección Oeste, velocidad 20km/h (v2).

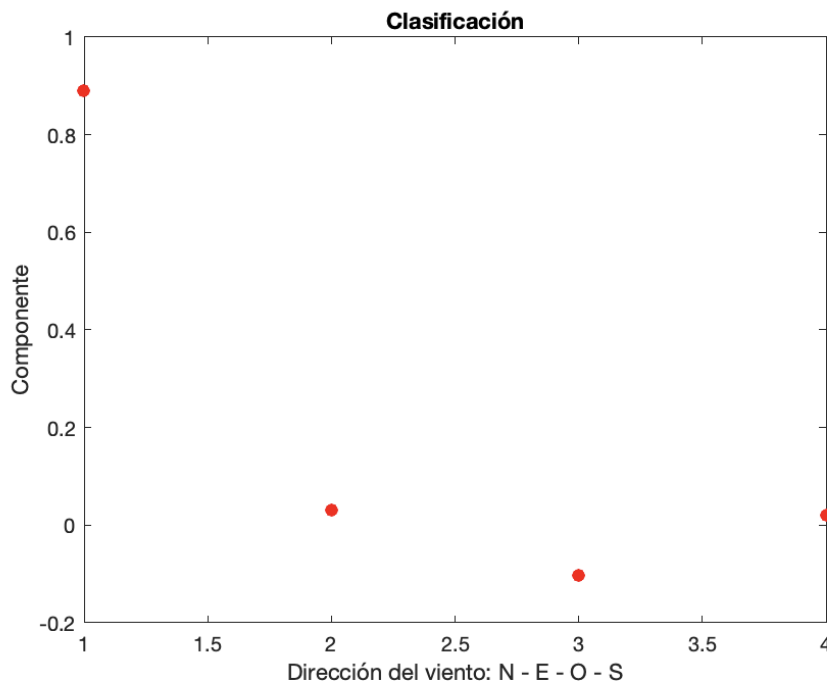


Ilustración 39. Clasificación de la dirección Sur, velocidad 20 km/h (v1)

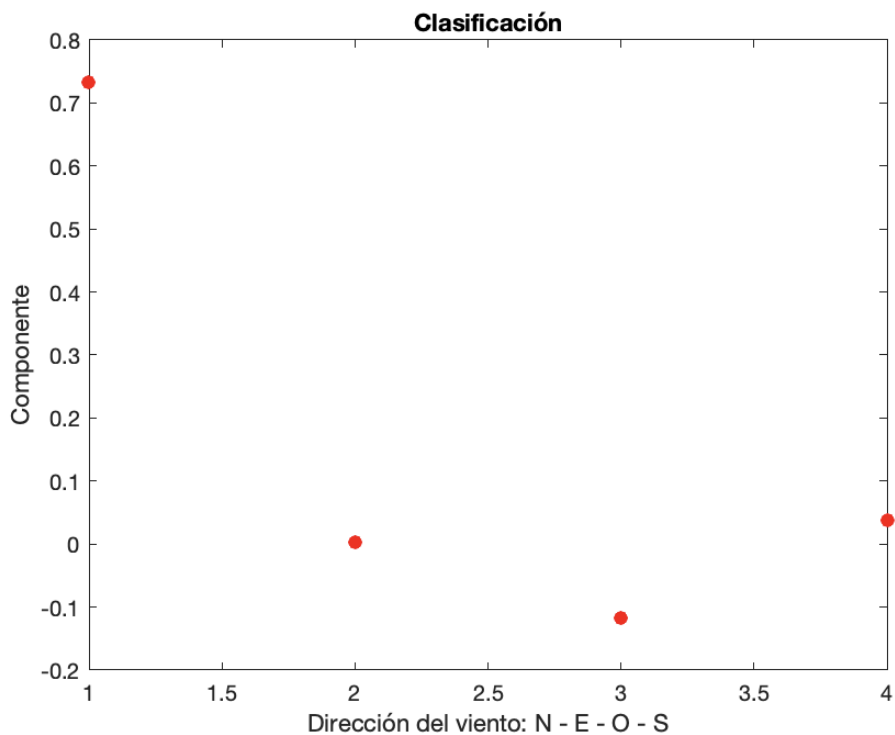


Ilustración 40. Clasificación dirección Sur, velocidad 20km/h (v2).

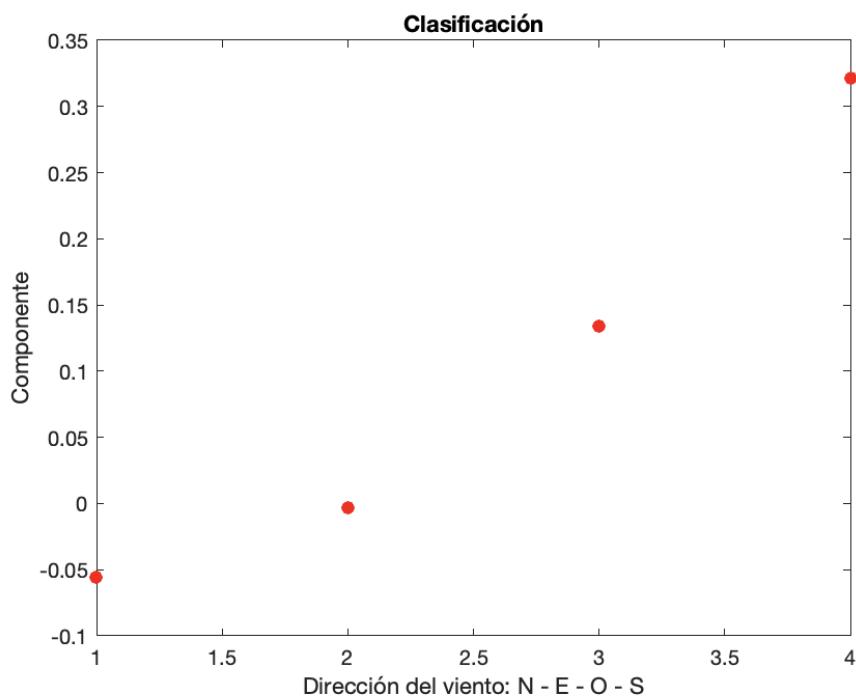


Ilustración 41. Clasificación de la dirección Sur, velocidad 40km/h.

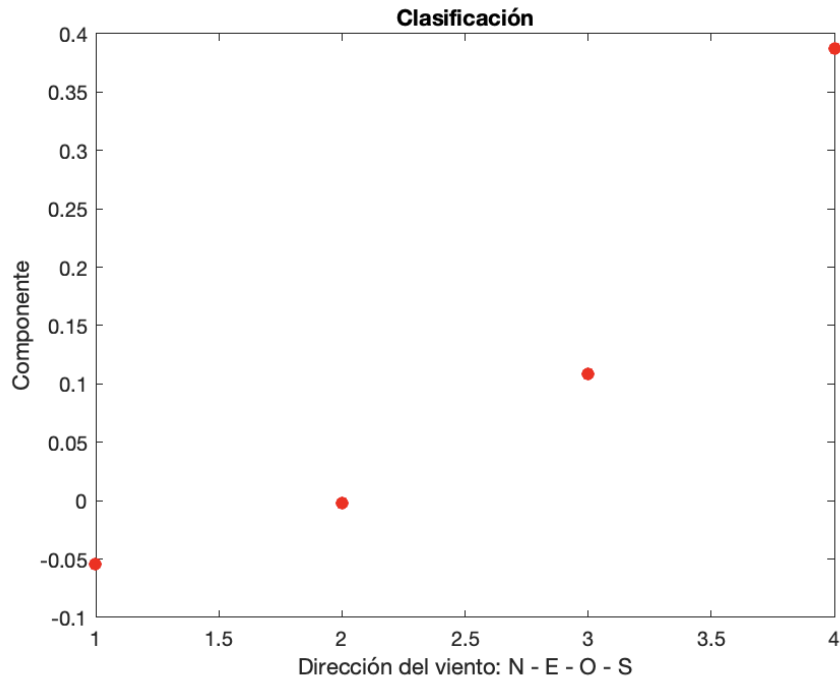


Ilustración 42. Clasificación dirección Sur, velocidad 60km/h. (v1)

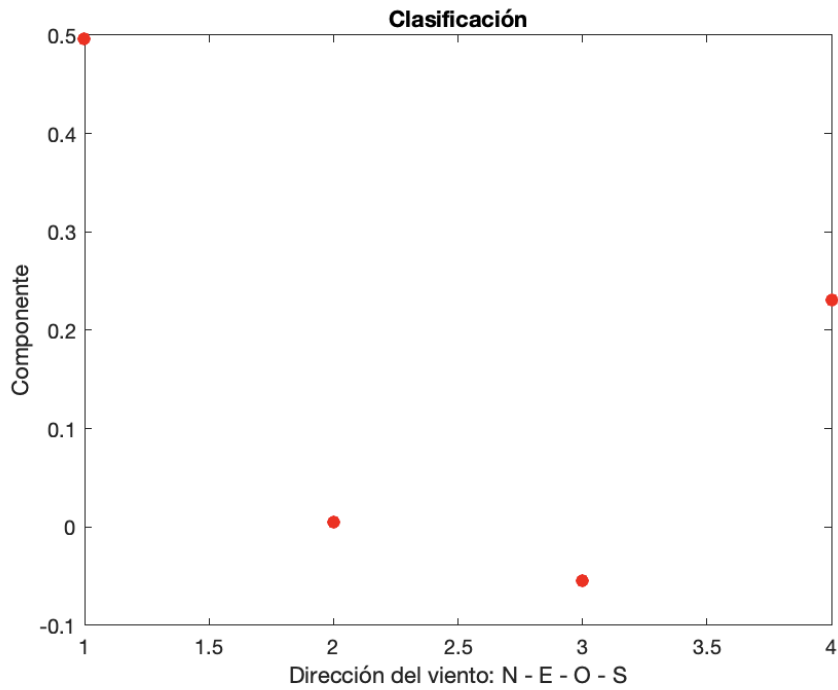


Ilustración 43. Clasificación dirección Sur, velocidad 60km/h (v2).

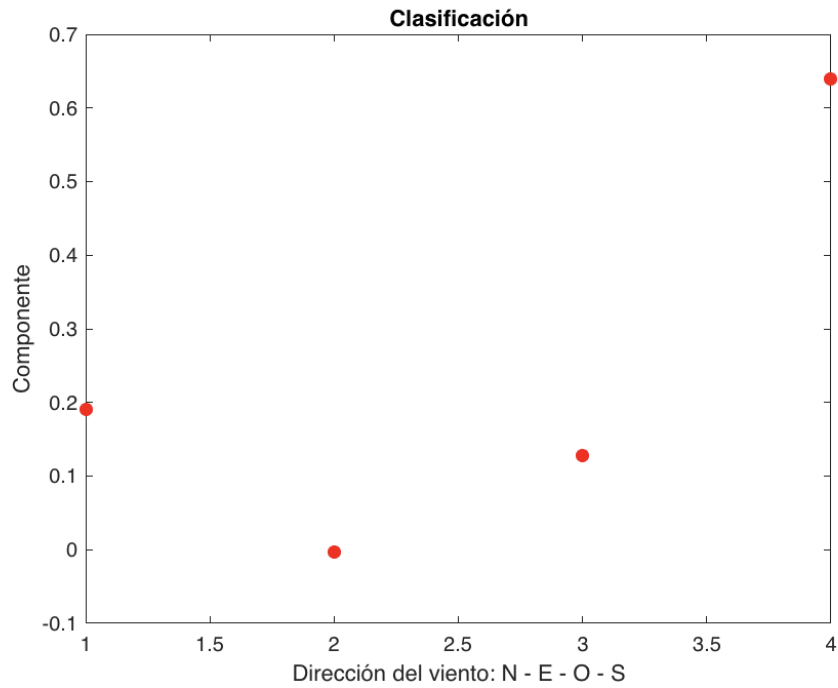


Ilustración 44. Clasificación de la dirección Norte, velocidad 60km/h (v1).

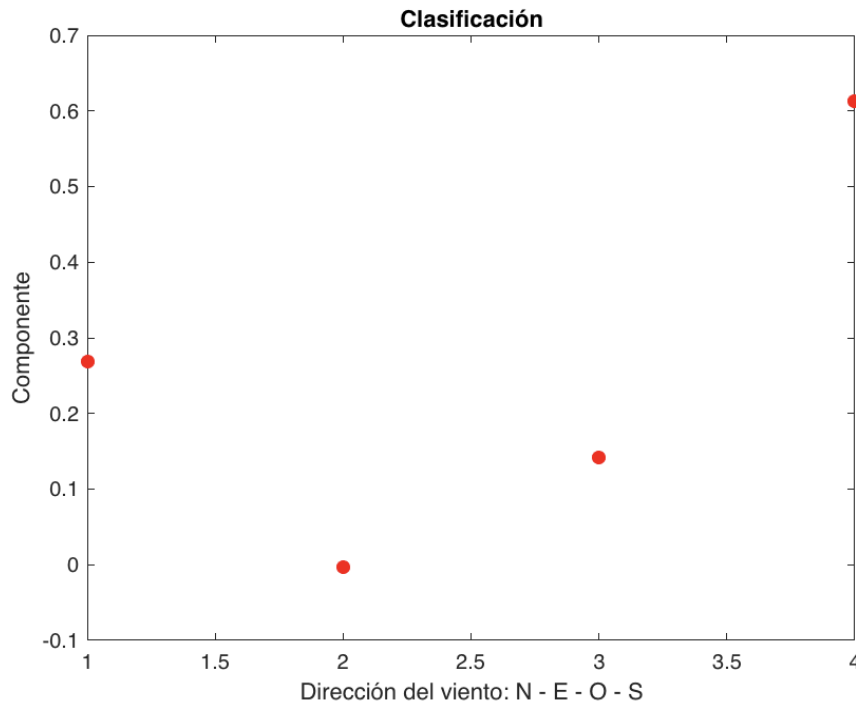


Ilustración 45. Clasificación de la dirección Norte, velocidad 60km/h (v2).

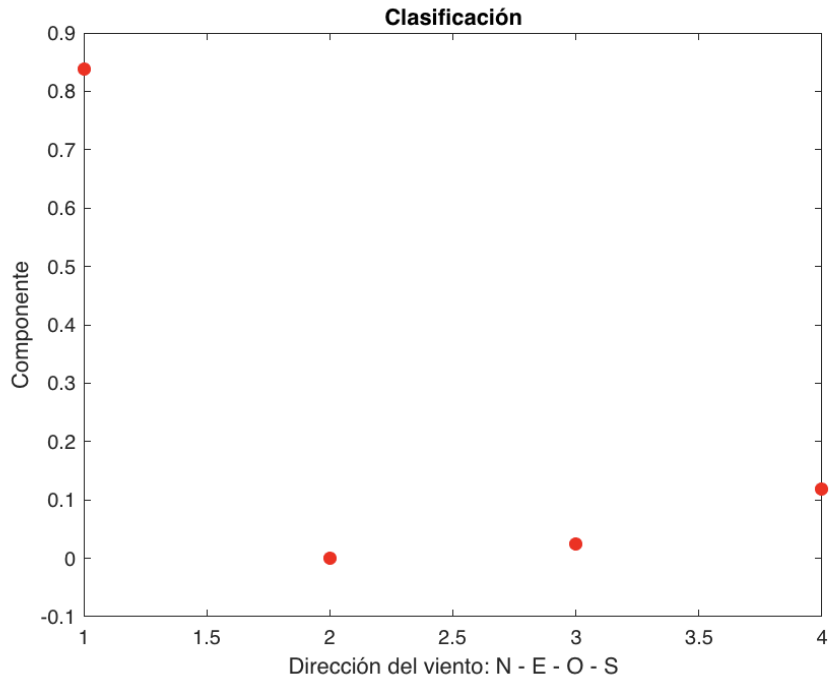


Ilustración 46. Clasificación dirección Norte, velocidad 40km/h.

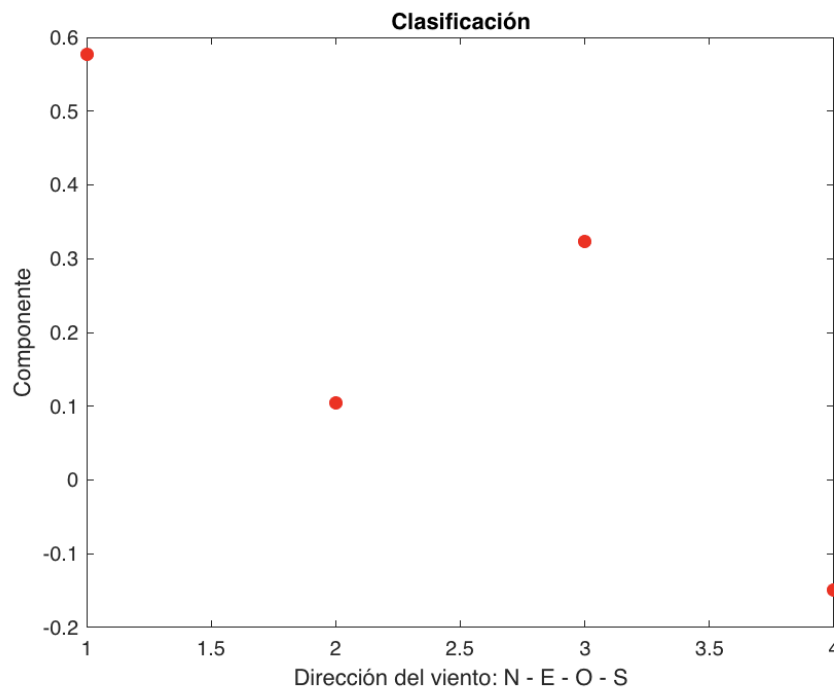


Ilustración 47. Clasificación dirección Norte, velocidad 20km/h (v1).

Apéndice 4: Gráficas de validación de los
sistemas de clasificación

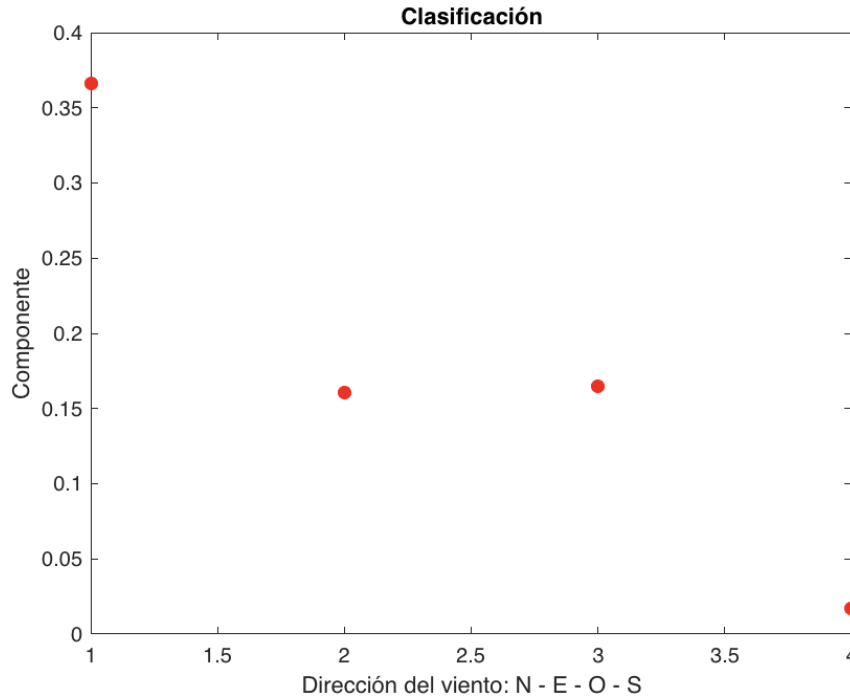


Ilustración 48. Clasificación de la dirección Norte, velocidad 20km/h (v2).

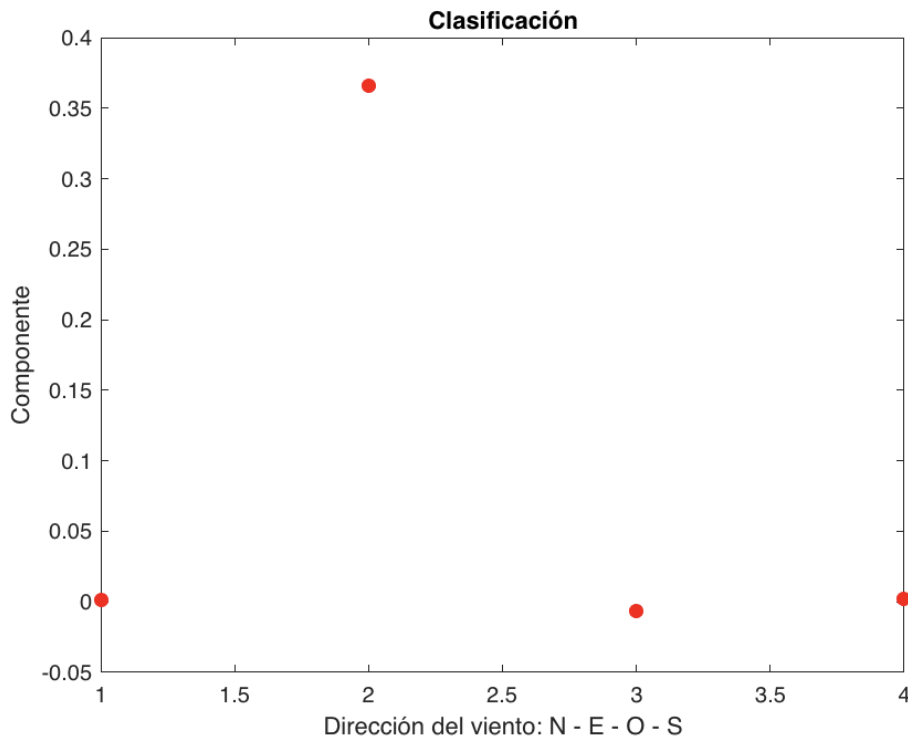


Ilustración 49. Clasificación de la dirección Este, velocidad 40km/h.

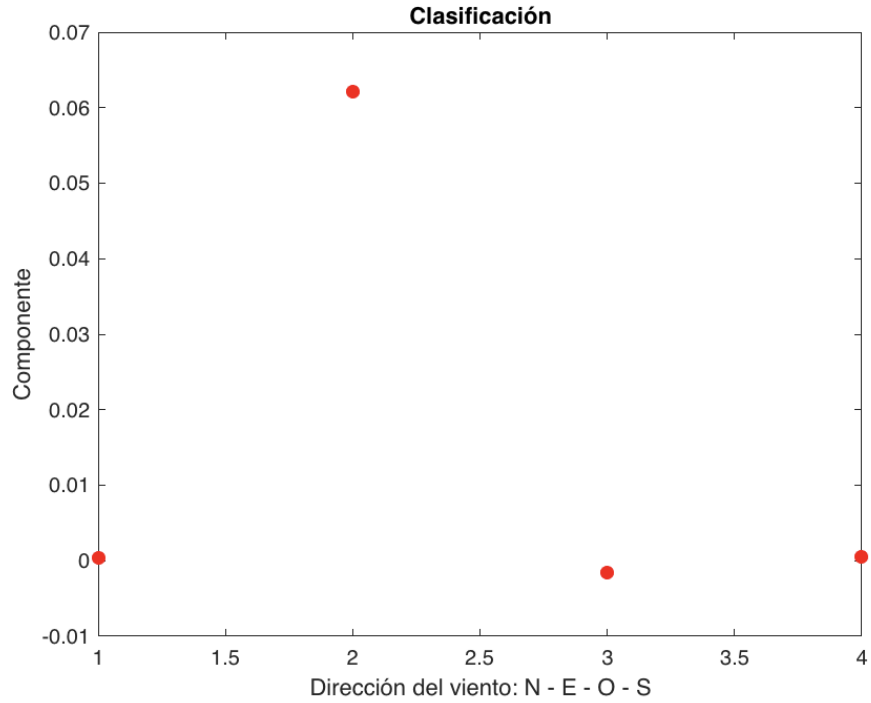


Ilustración 50. Clasificación de la dirección Este, velocidad 60km/h.

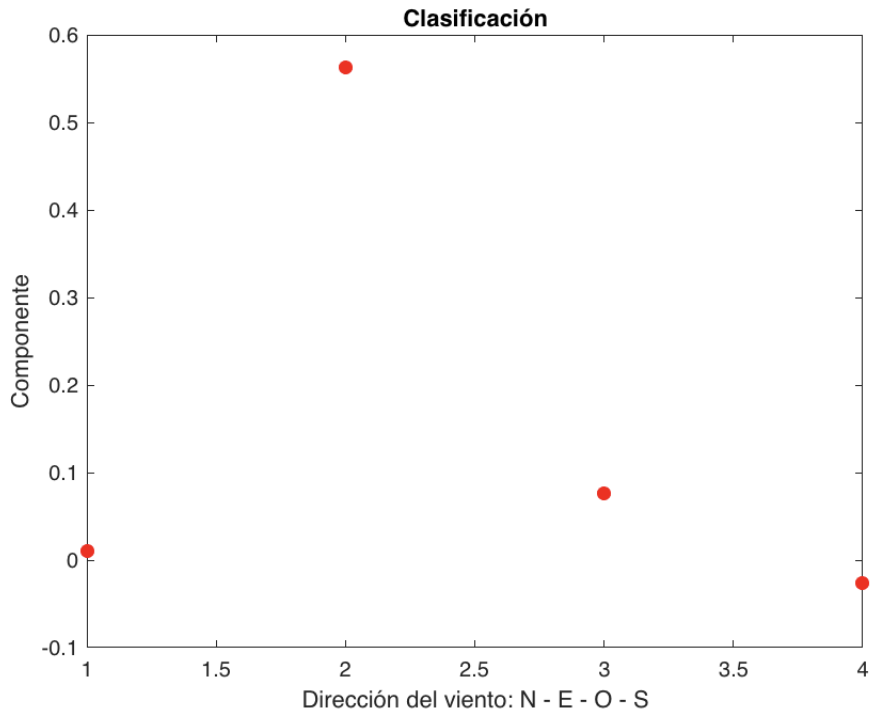
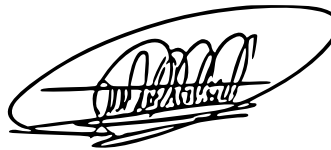


Ilustración 51. Clasificación dirección Este, velocidad 20km/h.

Relación de documentos

<input type="checkbox"/>	Memoria	185	páginas
<input checked="" type="checkbox"/>	Anexos	126	páginas

La Almunia, a 23 de 11 de 2022



Firmado: Jonathan Chamba Benítez